



République Algérienne Démocratique et Populaire
Ministère de l'Enseignement Supérieur et de la Recherche Scientifique

Faculté des Sciences de l'Ingénieur

Université de Batna

MÉMOIRE Préparé au

Département d'Electrotechnique

Présenté par

MIMOUNI Kamel

Pour obtenir le titre de

MAGISTER

Option : Réseaux Electriques

Caractéristiques de la Qualité d'Énergie Électrique dans un Nœud à Tension non Sinusoïdale Contenant un Compensateur Statique.

Soutenu le 09/11/2010

Devant le Jury composé de :

Khaled CHIKHI	Maître de Conférences A	Univ. Batna
Malek BOUHARKAT	Maître de Conférences A	Univ. Batna
Cherif FETHA	Maître de Conférences A	Univ. Batna
Tahar BAHY	Maître de Conférences A	Univ. Annaba

SOMMAIRE

Introduction Générale	5
------------------------------------	---

Chapitre I : Définitions physiques et interprétation des différentes puissances du réseau électrique

Introduction.....	8
I.1 Définition de la puissance en régime sinusoïdal.....	8
I.2 Définition en régime non sinusoïdal.....	13
I. 2. 1 Les puissances dans les circuits linéaires en régime permanent périodique non sinusoïdal.....	13
I. 2. 2 Puissance active.....	14
I. 2. 3 Puissance réactive.....	15
I. 2. 4 Le facteur de puissance.....	19
Conclusion.....	20

CHAPITRE II : Méthode de calcul et détermination de la puissance réactive dans les régimes non sinusoïdaux

Introduction.....	22
II. 1. Contradiction et difficultés dans la détermination de la puissance réactive.....	22
II. 2. Description mathématique du modèle retenu.....	24
II. 3. Différentes méthodes de calcul de la puissance réactive.....	30
Conclusion.....	31

CHAPITRE III : Analyse de la non-sinusoïdalité du régime pour un modèle statique à thyristors

Introduction.....	33
III. 1 Système, Réseau – charge – compensateur.....	33
III.2 Analyse de la non-sinusoïdalité pour le régime $\alpha_L = \alpha_C$	40
III-3 Analyse de la non-sinusoïdalité quand $\alpha_L = 0 ; \alpha_C \neq 0$	47
III. 4 Analyse de la non-sinusoïdalité quand $\alpha_L \neq \alpha_C \neq 0$	51
Conclusion.....	60

CHAPITRE IV Détermination de la balance de la puissance réactive dans le nœud

Introduction.....	62
IV. 1 Caractéristiques nodales du modèle étudié.....	62
IV - 2. Balance de la puissance réactive sur le fondamentale (sans harmoniques).....	62
IV -2.1 Paramètres équivalents.....	62
IV.2.2 Détermination des paramètres du régime du compensateur.....	64
IV.2-3. Calcul des puissances réactives des branches du nœud.....	66
IV. 3 Analyse des caractéristiques.....	73
IV -4. Balance de la puissance réactive en présence des harmoniques.....	74
IV -4-1 Schémas équivalent et paramètre pour les harmoniques supérieurs.....	74
IV-5. Calcul des puissances réactives des branches du nœud.....	75
IV. 6. Analyse des caractéristiques.....	83
Conclusion.....	84
Conclusion générale.....	85
Références bibliographiques.....	86

Introduction Générale

L'énergie électrique est essentiellement distribuée aux utilisateurs sous forme de courant alternatif par des réseaux en haute –moyenne et basse tension .l'énergie consommée est composée d'une partie active transformée en chaleur au mouvement ,et d'une partie réactive transformée par les actionneurs électrique pour créer leurs propres champs électromagnétique .l'utilisateur ne bénéficie que de l'apport énergétique de partie active ;la partie réactive ne peut pas être éliminée, mais doit être compensée par des dispositifs appropriés.

L'énergie totale soutirée au réseau de distribution sera ainsi globalement réduite les économies d'énergie réalisées se chiffrent par dizaines de pour cent de la consommation globale, situant les procédés de compensation d'énergie réactive.

Les industries des temps modernes se caractérisent par une consommation de l'énergie électrique souvent croissante ; ceci impose la nécessité d'un développement des systèmes électro-énergétiques [1-8].

La gestion du réseau électrique ne consiste pas seulement à faire en sorte que les transits de puissance soient inférieurs aux capacités de transport du réseau. Il faut également surveiller plusieurs paramètres techniques, dont le niveau de tension et qu'il doit rester dans une plage autorisée en tout point du réseau, dans toutes les situations de production et de consommation prévisibles. En effet, la tension peut localement être dégradée et le système électroénergétique s'accompagne inévitablement par des pertes des puissances actives et réactives dans les lignes et les transformateurs. Les pertes réactives peuvent être considérables et leur compensation exige l'augmentation de la puissance des installations.

En conséquence les indices techniques et économiques de fonctionnement des réseaux et des récepteurs d'énergie électrique, changent d'une manière négative. Ces conséquences peuvent être réduites par le moyen de la compensation de l'énergie réactive en agissant sur les paramètres du compensateur dans le nœud du réseau électrique.

Bien que le domaine de la compensation de l'énergie réactive soit connu d'une manière générale, mais, il reste que les industries sont investies de charges puissantes à

caractères non linéaires tel que les fours électriques ; ce qui nous permet d'apprécier l'importance du problème et ses imbrications multiples dans le domaine de l'économie. Pour ce genre de charge, la compensation de l'énergie électrique rencontre des difficultés lors de l'élaboration des réseaux électriques et des moyens de compensation qui sont souvent liées à des questions principales. Parmi ces questions ; l'équilibre et l'évaluation de la balance de la puissance réactive dans les nœuds à tension non sinusoïdale et le choix des installations de compensation dans les nœuds du réseau à caractère non sinusoïdal [7-15].

De cette problématique nous avons jugé qu'il est important de connaître le comportement des grandeurs du réseau électrique dans un nœud de charge non linéaire, en faisant miroiter les indices qui évaluent les caractéristiques énergétiques d'un réseau électrique et d'établir sa relation avec les autres caractéristiques du processus énergétique et d'évaluer quantitativement et qualitativement le processus lui-même.

CHAPITRE I

Définitions Physiques Et Interprétation

Des Différentes Puissances du Réseau Electrique

La forme sous la quelle est donnée l'expression (1.2) peut suggérer l'idée de la représenter comme suit :

$$s = U.I \cos \Phi - UI \cos (2wt + 2\phi u - \Phi) = sa + sr \dots \dots \dots (I.3)$$

Où

$$sa = UI \cos \Phi : \text{Composante constante}$$

$$sr = -UI \cos (2wt + 2\phi u - \Phi) : \text{Composante alternative.}$$

L'expression (I.3) permet d'une façon tout à fait formelle de présenter la courbe de la puissance instantanée par la somme d'une composante constante continue et d'une composante variable oscillant autour de l'axe des abscisses à une fréquence double de celle de la tension appliquée.

Cette dernière explique le changement de la direction de l'énergie dans le circuit.

En utilisant la formule (I.1) on peut déterminer le travail effectué pendant une période de variation du courant pour établir ce dernier dans le circuit. Le travail est égal à :

$$W = \int_0^T s(t) . dt = \int_0^T U . i dt$$

ou bien, en tenant compte de (I.3)

$$W = \int_0^{2\pi/w} U . I \cos \phi dt - \int_0^{2\pi/w} U . I \cos(2wt + 2\phi u - \phi) dt = \frac{2\pi}{w} sa \dots \dots \dots (I.4)$$

Ainsi donc l'énergie utile mise en jeu dans le circuit est numériquement égale à la somme algébrique de la surface délimitée par la courbe $s(t)$ et l'axe des abscisses, c'est à dire de la somme des surfaces "positives" diminuées de celles "négatives" ou alors de manière équivalente à la surface du rectangle ayant pour longueur $2\pi/w$ et pour largeur $sa = UI \cos \phi$.

Cette dernière grandeur est dite "puissance active". La puissance active est donc

On peut remarquer que cette puissance est positive et oscille avec une fréquence double de celle de la tension appliquée, autour d'une moyenne égale à p , tandis qu'avec la même fréquence, la puissance instantanée q oscille autour d'une valeur moyenne nulle.

L'amplitude des oscillations de cette puissance est dite puissance réactive, elle est égale à $Q = U.I \sin \phi$.

Du point de vue compensation, la représentation de la figure(I.1) offre un intérêt précis. En effet, par compensation on entend habituellement, la réduction de la composante réactive du courant dans le circuit, déterminée par rapport à la tension.

Pour installer ce régime, on doit insérer dans le circuit concerné un élément de même nature (ayant la propriété d'accumulation) que ce lui dont on veut réduire l'effet, mais de comportement, à chaque instant du temps strictement opposé de telle façon que l'interaction ne laissera dans le circuit que la composante active P

Or la représentation considérée, permet une description plus plausible du processus d'échange entre la source et la charge, puisque celui-ci est alors représenté par une composante déterminée qui pourrait nous renseigner sur l'élément de compensation. Ceci n'aurait pas pu être immédiatement obtenu à partir de la représentation fig. (I.1a). Cependant la courbe, donnant les valeurs instantanées de la puissance, répondra toujours au processus réel dans le circuit électrique [6-13].

En se référant à la courbe Fig. (I. 1a), représentant $s(t)$, on peut facilement constater que l'énergie électrique échangée par le récepteur vers la source pendant la période $T = 2\pi/\omega$ est égale à la surface délimitée par les ordonnées négatives de $s(t)$ et l'axe des abscisses.

$$W_- = -F_- = -2 \int U i dt = 2 \int p d\phi - \int UI \cos(2\omega t - \phi) d\phi$$

$$W_- = 2(Q - P\phi).$$

La même valeur d'échange est renvoyée par la source vers le récepteur, pendant les

En effet en examinant les courbes fig. (I.1) on peut voir que l'énergie résultante $W(-)$ fig.(I.1), est le résultat de l'interaction pendant l'intervalle ϕ/w entre les Procéssus de Transformation décrit par la courbe $p(t)$ et le Processus d'accumulation et d'échange décrit par $q(t)$.

Dans ce cas la puissance réactive est égale à l'amplitude des oscillations de $q(t)$ et peut être exprimée par la surface délimitée par $q(t)$ et l'axe des abscisses.

Si l'on désigne par F , la surface délimitée par une alternance de $q(t)$, on peut alors écrire.

$$W = F = \int_0^{\pi/W} Q \sin(2wt) \cdot dt = \frac{Q}{W} \dots \dots \dots (I. 12)$$

où W : quantité d'énergie accumulée et échangée entre la source le récepteur et la source.

La puissance d'accumulation dans ce cas sera:

$$P'ac = \frac{W}{T} = \frac{Q}{W} \cdot \frac{4}{T} = \frac{2}{\pi} \cdot Q \dots \dots \dots (I. 13)$$

Les expressions (I.11) et (I.14) donnent exactement le même résultat puisque

$P'ac = M - P \left(1 - \frac{2\phi}{\pi}\right)$, Seulement les représentations sont différentes Vu que :

$$P'ac \neq Pac = \frac{2}{\pi} \cdot Q - \frac{2\phi}{\pi} p$$

Dans les systèmes sinusoïdaux, malgré certaines différences dans les représentations, les résultats des problèmes liés à la puissance réactive sont identiques. La position est tout autre en ce qui concerne les systèmes caractérisés par la non-sinusoïdalité et l'asymétrie [19, 23].

I. 2 Définition en régime non sinusoïdal

I. 2. 1 Les puissances dans les circuits linéaires en régime permanent périodique non sinusoïdal

La puissance instantanée chargée aux bornes d'un dipôle active où passive avec $s = u(t) \cdot i(t)$

Le dipôle étant linéaire en régime permanent périodique non sinusoïdal, la tension aux bornes $u(t)$ et le courant $i(t)$, peuvent s'écrire sous la forme de série de Fourier. [6]

$$u = U_0 + \sqrt{2} \sum U_k \sin(K\omega t + \beta U_k)$$

$$i = I_0 + \sqrt{2} \sum I_k \sin(K\omega t + \beta I_k) \dots \dots \dots (1.15)$$

En introduisant les expressions (1.15) dans la relation de la puissance il résulte :

$$S = U_0 I_0 + \sqrt{2} U_0 \sum I_k \sin(K\omega t + \beta I_k) + \sqrt{2} I_0 \sum U_k (\sin(K\omega t + \beta_u k))$$

$$+ 2 \sum_{p=1}^{\infty} \sum_{q=1}^{\infty} U_p I_p \sin(P\omega t + \beta_{up}) \sin(q\omega t + \beta_{uq}) \dots \dots \dots (1.16)$$

I. 2. 2 Puissance active

A la base de la définition de la puissance active carme la moyenne sur une période de la puissance instantanée.

$$P = \frac{1}{T} \int_0^T U(t).I(t) dt$$

On obtient

$$P = \frac{1}{T} U_0 I_0 \int_0^T dt + \frac{\sqrt{2} U_0}{T} \sum I_k \int_0^T \sin(K\omega t + \beta_{ik}) dt$$

$$+ \frac{\sqrt{2} U_0}{T} \sum U_k \int_0^T \sin(K\omega t + \beta_{uk}) dt$$

$$+ \frac{2}{T} \sum \sum U_p I_p \int_0^T \sin(P\omega t + \beta_{up}). \sin(q\omega t + \beta_{iq}) dt \dots \dots \dots (1.17)$$

où on Peut poser,

$$\int_0^T \sin(P\omega t + \beta_{up}). \sin(q\omega t + \beta_{iq}) dt = \frac{T}{2} \cos(\beta_{up} - \beta_{iq})$$

ainsi, l'expression (1.17) devient :

I. 2. 4 Le facteur de puissance

Le facteur de puissance est égal par définition à :

$$FP = \frac{P}{S} = \frac{\text{puissance_active_((kW)}}{\text{puissance_apparente_((kVA)}}$$

(I.30)

Si les courants et tensions sont des signaux parfaitement sinusoïdaux, le facteur de puissance est égal à $\cos\phi$. On utilise également la variable $\text{tg}\phi$. Dans les mêmes conditions, nous avons la relation :

$$\text{tg}\phi = \frac{Q}{P} = \frac{\text{puissance_réactive_((kvar)}}{\text{puissance_active_((kW)}}$$

(I.31)

L'objectif de la compensation d'énergie réactive est de réduire le courant appelé sur le réseau. L'énergie réactive est fournie par des condensateurs, au plus près des charges inductives. Sur une période de temps donnée, nous avons également :

$$\text{tg}\phi = \frac{W_r}{W_a} = \frac{\text{énergie_réactive_consommée_((k var h)}}{\text{énergie_active_consommée_((kWh)}}$$

(I.32)

La circulation de l'énergie réactive a des incidences techniques et économiques importantes. En effet, pour une même puissance active P , la figure suivante montre qu'il faut fournir d'autant plus de puissance apparente, et donc de courant, que la puissance réactive est importante

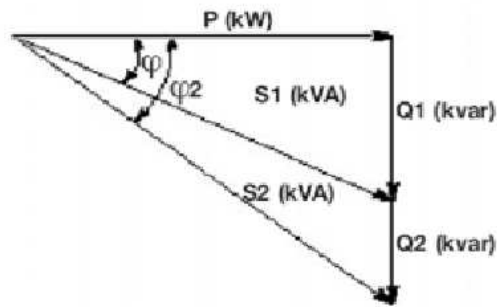


Figure I. 1 Représentation des puissances

Ainsi, du fait d'un courant appelé plus important, la circulation de l'énergie réactive sur les réseaux de distribution entraîne des surcharges au niveau des transformateurs, l'échauffement des câbles d'alimentation, des pertes supplémentaires, des chutes de tension importantes.

En régime permanent périodique non sinusoïdal le facteur de puissance se calcul de la même façon comme dans le régime permanent périodique sinusoïdal avec la relation.

$$\text{Cos}\varnothing = \frac{p}{s} = \frac{UI \cos \varnothing}{UI} \quad (I.33)$$

Conclusion

Dans ce chapitre il a été mentionner les différentes approches mathématique des différentes caractéristiques du réseau électrique (la puissance apparente, puissance active, puissance réactive et le facteur de puissance). Nous avons étalés l'ensemble des formules décrivant les différentes puissances dans les circuits linéaires en régime permanent périodique non sinusoïdal

CHAPITRE II

Méthode de calcul et détermination de la puissance réactive dans les régimes non sinusoïdaux

contradictoires.

L'expression (II. 1) définit la puissance réactive par analogie à la puissance active, cette expression est très connue et largement publiée dans la théorie d'électrotechnique.

L'expression (II. 2) découle de la caractéristique intégrale de la puissance réactive.

$$Q = \frac{1}{2\pi} \int u di$$

Où u, i : tension et courant instantanés.

Elle est utilisée en pratique pour évaluer les indices énergétiques des convertisseurs.

L'expression (II. 3) définit la puissance réactive comme une valeur intégrale de la différence entre les énergies électromagnétique (i) et électrostatique (u).

Dans les régimes sinusoïdaux, la puissance réactive est définie comme l'amplitude de la valeur instantanée de la puissance de fluctuation, qui caractérise, l'échange de l'énergie entre la source et la charge ou bien comme valeur moyenne d'une puissance instantanée primaire, définie analogie à la puissance instantanée active [8-14].

Malgré le caractère conventionnel et la différence dans l'approche pour la définition de la puissance réactive, les résultats obtenus pour les régimes sinusoïdaux sont équivalents et correspondent. Les expressions (II. 1), (II. 2) et (II. 3), destinées pour le calcul des régimes sinusoïdaux quand $n = 1$.

Pour l'évaluation de la puissance réactive en tenant compte des harmoniques supérieurs, les expressions en question donnent des résultats différents ($n > 1$).

Une question évidente peut être déjà posée (pour quelle valeur de la puissance réactives s'établit la balance au niveau d'un nœud de charge en présence des harmoniques supérieurs?).

Du point de vue énergétique, on a comparé les formules obtenues et on a montré que l'expression (II. 2) de calcul donne une représentation plus complète quant au déroulement des processus énergétiques dans le circuit électrique et en présence d'harmoniques supérieurs.

II. 2. Description mathématique du modèle retenu

D'une manière générale pour résoudre les problèmes de compensation dans les réseaux électriques, on utilise des installations rotatives ou statiques. La première correspond au compensateur synchrone qui est en effet une machine synchrone dépourvue de son couple résistant. Le principe de fonctionnement, les avantages, et les inconvénients de ce type de compensateur ne constituent pas l'objet de notre travail et sont largement exposés dans beaucoup de travaux [14].

Les modes de compensation statique sont multiples, et de même, leur principe de fonctionnement selon leur réglage sont expliqués dans plusieurs travaux [9-12]. Mais, du fait qu'ils constituent l'objet de notre travail on reprendra ici que leur schéma de principe et les diagrammes correspondants, (fig. II 1 à II.4).

Les courbes représentées sur les diagrammes aussi établies sont de période $T = 2\pi/w$; elles peuvent être sous la forme :

$$f(t) = a_0 + \sum a_n \cos nwt + \sum b_n \sin nwt \dots \dots \dots (II.4)$$

Où : a_0 : composante constante de $f(t)$.

a_n, b_n - respectivement les amplitudes cosinusoïdales et sinusoïdales de l'harmonique de rang 'n'.

Les grandeurs a_0, a_n et b_n sont en fait, les coefficients de la décomposition en série de Fourier.

Ils peuvent être calculés comme suit :

$$a_0 = \frac{2}{\pi} \int_0^\pi f(wt) dt \dots \dots \dots (II.5)$$

$$a_n = \frac{2}{\pi} \int_0^\pi f(wt) \cdot \cos n wt dt \dots \dots \dots (II.6)$$

$$b_n = \frac{2}{\pi} \int_0^\pi f(wt) \cdot \sin n wt dt \dots \dots \dots (II.7)$$

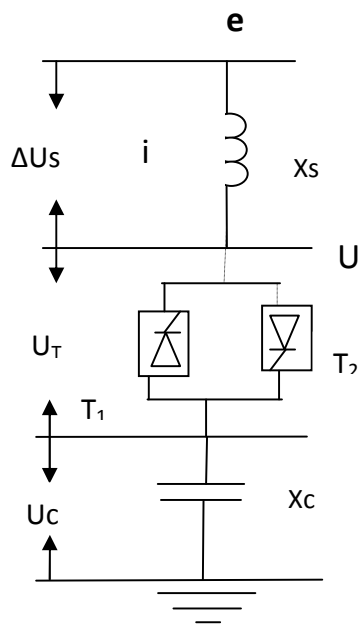


Figure II. 1 Schéma de principe de compensation

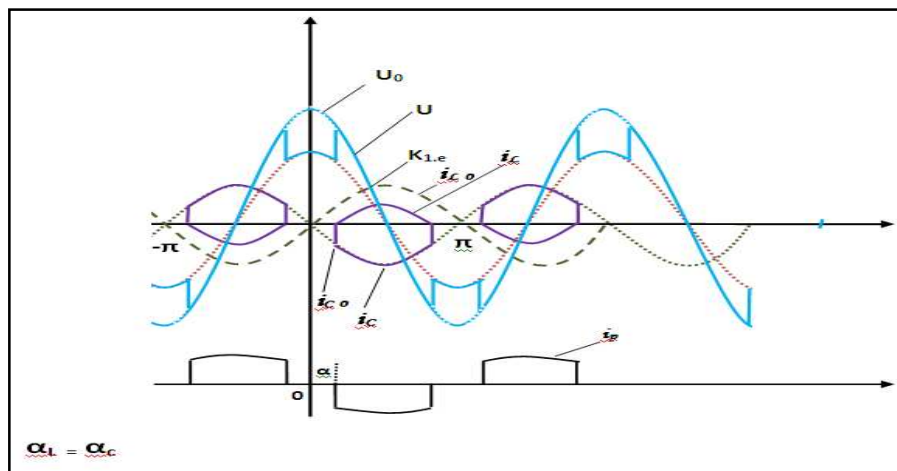
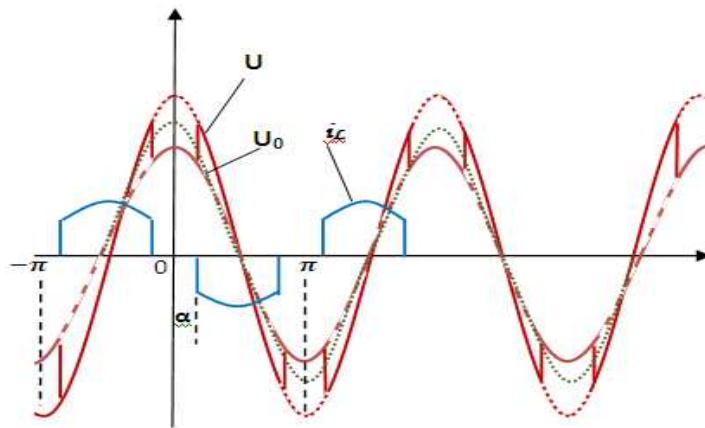


Figure II. 2 Formes d'ondes des courants et tensions quand $\alpha_L = \alpha_C$



$$\alpha_L = 0 ; \alpha_C \neq 0$$

Figure II. 3 Formes d'ondes des courants et tensions quand $\alpha_L=0, \alpha_C \neq 0$

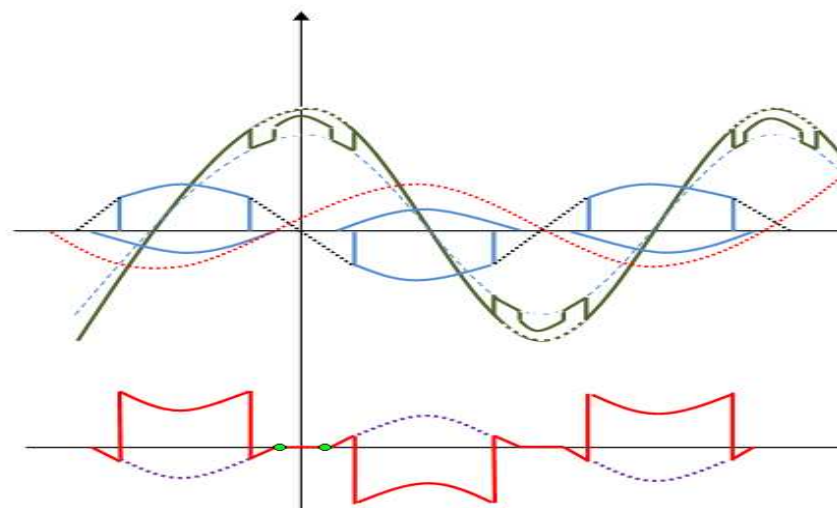


Figure II. 4 Formes d'ondes des courants et tensions quand $\alpha_L \neq \alpha_C$

En supposant que la tension du réseau varie selon une loi sinusoïdale $u = U_a \cos wt$, on peut dire que la courbe instantanée discontinue de la tension aux bornes de l'inductance est symétrique par rapport à l'axe des ordonnées, par conséquent on peut poser dans l'expression (II. 4)

$$a_0 = 0 \quad \text{et} \quad b_n = 0$$

Il s'ensuit que le contenu harmonique de cette tension ne comporte plus que les

composantes cosinusoidales, dont les amplitudes peuvent être calculées comme suit :

$$a_n = \frac{2}{\pi} \int_{\alpha}^{\pi-\alpha} U_m \cdot \cos wt \cdot \cos n wt \cdot dw$$

Après transformation trigonométrique et en effectuant l'intégrale sur l'intervalle aux bornes définies α et $\pi - \alpha$ et en faisant quelques transformations on obtient :

$$a_n = \frac{U_m}{\pi} \int_{\alpha}^{\pi-\alpha} [\cos (1+n) wt + \cos (1-n) wt] dw$$

- Pour $n = 1$, le deuxième terme du deuxième membre de l'expression de a_n , qui a priori est une grandeur indéterminée, sera déterminée par la limite de la forme $\sin x/x$ quand $x \rightarrow 0$

Ainsi on peut obtenir, pour $n = 1$

$$a_n = a_1 = U_m (1 - 2\alpha/\pi - \sin 2\alpha)$$

Ce qui permet d'exprimer, la tension fondamentale aux bornes de X_L ,

$$U_{L1} = U_m a_{L1} \cos wt$$

où

$$a_{L1} = \frac{a_1}{U_m} = (1 - 2\alpha/\pi - \sin 2\alpha)$$

Pour $n > 1$ les coefficients a_n peuvent être trouvés par l'expression,

$$a_n = \frac{U_m}{\pi} \left[\frac{1}{(1+n)} \sin(1+n)\alpha + \frac{1}{(1-n)} \sin(1-n)\alpha \right]$$

$$= \frac{2U_m}{\pi} \left[\frac{\sin(1+n)\alpha}{(1+n)} + \frac{\sin(1-n)\alpha}{(1-n)} \right] = U_m \cdot a_{Ln}$$

Où :

$$a_{Ln} = \frac{2}{\pi} \left[\frac{\sin(1+n)\alpha}{(1+n)} + \frac{\sin(1-n)\alpha}{(1-n)} \right] \dots \dots \dots (II.8)$$

La tension aux bornes de l'inductance étant par hypothèse paire, finalement on peut écrire pour le $n^{ième}$ harmonique de la tension.

$$U_{Ln} = U_m \cdot a_{Ln} \cos n \omega t \dots \dots \dots (II. 9)$$

En faisant le même raisonnement on trouve le contenu harmonique dans la courbe du courant instantané (fig. I. 2) en mettant dans la formule(II. 4) .

$$a_0 = 0 \quad \text{et} \quad a_n = 0$$

de cette façon on peut écrire :

$$b_n = \frac{2}{\pi} \int_{\alpha}^{\pi-\alpha} I_m (\sin \omega t - \sin \alpha) \sin n \omega t \, d\omega t$$

ou bien après transformation trigonométriques,

$$\begin{aligned} b_n &= \frac{2}{\pi} \int_{\alpha}^{\pi-\alpha} I_m \sin \omega t \sin n \omega t \, d\omega t - \frac{2}{\pi} \int_{\alpha}^{\pi-\alpha} I_m \sin \alpha \sin n \omega t \, d\omega t \\ &= \frac{2I_m}{\pi} \int_{\alpha}^{\pi-\alpha} \frac{1}{2} [-\cos(1+n)\omega t + \cos(1-n)\omega t] \, d\omega t - \frac{2I_m}{\pi} \int_{\alpha}^{\pi-\alpha} \sin n \omega t \, d\omega t \\ &= \frac{I_m}{\pi} \left[\frac{-\sin(1+n)}{(1+n)} \Big|_{\alpha}^{\pi-\alpha} + \frac{\sin(1-n)}{(1-n)} \Big|_{\alpha}^{\pi-\alpha} \right] - \frac{2I_m}{\pi} \sin \alpha \left[-\frac{\cos n \omega t}{n} \Big|_{\alpha}^{\pi-\alpha} \right] \\ &= \frac{-I_m}{(1+n)\pi} [\sin(1+n)(\pi-\alpha) - \sin(1+n)\alpha] - \frac{I_m}{(1-n)\pi} [\sin(1-n)(\pi-\alpha) - \sin(1-n)\alpha] \\ &\quad + \frac{2}{n\pi} \cdot I_m \sin \alpha [\cos n(\pi-\alpha) - \cos n \alpha] \end{aligned}$$

Pour $n = 1$, et en tenant compte de l'approximation $\sin x = x$, quand $x \rightarrow 0$, on obtient :

$$\begin{aligned}
b_n &= \frac{-I_m}{n\pi} \left[\sin[2(\pi - \alpha) - \sin 2\alpha] + \frac{I_m}{(1-n)\pi} [(1-n)(\pi - \alpha) - (1-n)\alpha] \right] \\
&= \frac{-I_m}{n\pi} \left[\sin[2(\pi - \alpha) - \sin 2\alpha] + \frac{I_m}{(1-n)\pi} [(1-n)(\pi - \alpha) - (1-n)\alpha] \right] \\
&\quad + \frac{2}{\pi} I_m \sin \alpha [\cos(\pi - \alpha) - \cos \alpha] \\
&= \frac{-I_m}{n\pi} [\sin 2(\pi - \alpha) - \sin 2\alpha] + I_m \left[\frac{\pi - \alpha}{\pi} - \frac{\alpha}{\pi} \right] + [(1-n)(\pi - \alpha) - (1-n)\alpha]
\end{aligned}$$

Après transformation cette expression se réduit à :

$$b_1 = I_m \left[\frac{\sin 2\alpha}{\pi} + 1 - \frac{2\alpha}{\pi} - \frac{2}{\pi} \sin 2\alpha \right]$$

Ou bien :

$$b_1 = I_m \left[1 - \frac{2\alpha}{\pi} - \sin 2\alpha \cdot \frac{2}{\pi} \right] = I_m a_{L1} \dots \dots \dots (II.10)$$

Le courant fondamental dans l'inductance est :

$$i_{L1} = I_m \cdot a_{L1} \cdot \sin \omega t \dots \dots \dots (II.11)$$

pour $n > 1$,

$$\begin{aligned}
b_n &= \frac{I_m 2\alpha}{n\pi} \left[\frac{\sin(1+n)\alpha}{(1+n)} - \frac{\sin(1-n)\alpha}{(1-n)} \right] \\
&= I_m \cdot a_{L1} \cdot \frac{1}{n} \dots \dots \dots (II.12)
\end{aligned}$$

Ce qui permet d'écrire,

$$i_{Ln} = I_m \cdot a_{Ln} \cdot \frac{1}{n} \sin n \omega t \dots \dots \dots (II.13)$$

Pour la branche capacitive, on peut procéder de la même manière. En se référant au diagramme linéaire fig. (I. 5) on peut déduire les expressions des tensions et des courants de la capacité au régime déformant. Si l'on tient compte, comme c'est le cas

justement dans ce travail, de la réactance du système X_s ; la tension du système $e(t)$ est équilibrée par les tensions aux bornes des éléments X_s , thyristor et X_c ; tel que

$$e = D_{U_s} + U_t + U_c$$

$$= -E_m \cos wt \dots \dots \dots (II. 14)$$

où

D_{U_s} - chute de tension sur X_s

U_t - Tension aux bornes des thyristors

U_c - Tension au bornes de X_c .

avec

$$U_1 = U_T + U_c \dots \dots \dots (II. 15)$$

où

U - tension du réseau ou tension du nœud considéré

Pour $a = 0$, ces grandeurs prennent les valeurs :

$$U = U_c = U_0 = -U_0 m \cos wt$$

$$D_{U_s} = D_{U_s} O(U_{0m} - E_m) \cos wt$$

$$U_T = 0$$

$$i_c = i_{co} = I_{com} \sin wt$$

Pour $a \neq 0$ toutes ces grandeurs peuvent être représentées sous forme de série; ainsi pour U, U_c ; et i on peut écrire :

$$U = U_1 + \sum_1^{\infty} U_n$$

$$U_c = U_{c1} + \sum_1^{\infty} U_{cn}$$

$$i = i_1 + \sum_1^{\infty} i_n$$

Les grandeurs fondamentales des courants et des tensions instantanées s'expriment ;

Tension aux bornes de la capacité ;

$$U_{c1} = -U_{om} \left(1 - \frac{2\alpha}{\pi} + \frac{1}{\pi} \cdot \sin 2\alpha \right) \cos wt = -\sqrt{2} U_{c1(\alpha)} \cos wt \dots \dots \dots (II.16)$$

où

$$U_{c1(\alpha)} = U_0 \cdot a_{c1}$$

Tension aux bornes du thyristor,

$$\begin{aligned} U_{T1} &= \left[(U_{om} - E_m) \left(\frac{2\alpha}{\pi} + \frac{1}{\pi} \cdot \sin 2\alpha \right) - U_{mo} \left(\frac{2\alpha}{\pi} + \frac{1}{\pi} \cdot \sin 2\alpha \right) \right] \cos wt \\ &= \pm \sqrt{2} U_{T1(\alpha)} \cos wt \end{aligned}$$

Tension du nœud,

$$U_1 = U_{r1} + U_{c1} = -\sqrt{2} U_{1(\alpha)} \cos wt \dots \dots \dots (II.17)$$

Le courant fondamental dans le circuit s'exprime,

$$I_{c1} = I_{mc} \left(1 - \frac{2\alpha}{\pi} + \frac{1}{\pi} \cdot \sin 2\alpha \right) \sin wt = \sqrt{2} I_{c1(\alpha)} \sin wt \dots \dots \dots (II.18)$$

Avec

$$I_{c1} = I_{co} \cdot a_{c1} = I_{co} \left(1 - \frac{2\alpha}{\pi} + \frac{1}{\pi} \cdot \sin 2\alpha \right)$$

De la même manière que précédemment, les valeurs instantanées des harmoniques d'ordre n de la tension aux bornes de la capacité et du courant qui l'a traverse s'exprime grâce aux coefficients de Fourier ; ainsi,

$$\begin{aligned} U_{cn} &= \frac{2 U_{om}}{\pi_n} \left[\frac{\sin(1+n)\alpha}{1+n} - \frac{\sin(1-n)\alpha}{1-n} \right] \cos n wt \\ &= \sqrt{2} U_0 \frac{a_{cn}}{n} \cos n wt \dots \dots \dots (II.19) \end{aligned}$$

$$\begin{aligned} I_{cn} &= \frac{2 I_m}{\pi} \left[\frac{\sin(1+n)\alpha}{1+n} - \frac{\sin(1-n)\alpha}{1-n} \right] \sin n wt \\ &= \sqrt{2} I_o a_{cn} \sin n wt \dots \dots \dots (I.19) \end{aligned}$$

Avec :

$$a_{cn} = \frac{2}{\pi} \left[\frac{\sin(1+n)\alpha}{1+n} - \frac{\sin(1-n)\alpha}{1-n} \right] \dots \dots \dots (II.20)$$

Pour les schémas considérés, on peut déjà faire remarquer que les formules de calcul de la puissance réactif qui convergent, dans le cas des régimes sinusoïdaux, donnent des résultats différents dans ceux non sinusoïdaux [9].

II. 3. Différentes méthodes de calcul de la puissance réactive

En effet, la puissance réactive peut être, éventuellement calculée comme suit :

1. $Q_{L(\alpha)} = U \cdot I_{L1}$

Le produit de la tension efficace du nœud fondamental et du courant

2. $Q_{L(\alpha)} = U_1 I_1$

Le produit de la tension efficace du nœud et, du courant efficace fondamentaux.

3. $Q_{L(\alpha)} = U_{L,C} \cdot I_L$

Le produit de la tension efficace aux bornes de l'inductance et du courant correspondant,

4. $Q_{L(\alpha)} = U_{L,C}^2 / X_{L,C}$

Le rapport de la tension efficace (au carré) aux bornes de l'inductance et de la réactance.

5. $Q_{L(\alpha)} = I_{L,C}^2 / X_{L,C}$

Le produit du courant efficace (au carré) et de la réactance.

Conclusion

L'analyse de ces différentes méthodes de calcul de la puissance réactive dans les régimes non sinusoïdaux renseigne sur les ambiguïtés dans ces interprétations physiques de la puissance réactive et pendant sa détermination [9]. La tâche fixée dans ce travail ne consiste pas à prendre cette analyse, mais à retenir ce qui a semblé plausible dans les conclusions correspondantes, pour étudier un nœud chargé du réseau, mettant en évidence cet aspect du processus électro énergétique, et en déduire ses caractéristiques conformément à un critère ou à une condition donnée. L'indice définissant cette dernière est la tension nodale ; autrement dit, on doit établir, dans ce nœud une balance de puissance réactive pour une tension donnée quand le régime du nœud est non sinusoïdal ou non linéaire.

Cette balance, à la différence des cas classiques, doit être établie sans installation de filtres ; ce qui permettra d'évaluer l'apport des harmoniques supérieurs dans ce nœud. De ce fait apparaît une deuxième condition, ayant trait à la qualité de l'énergie électrique dans ce nœud ; et liée à l'écart admissible du Coefficient de non sinusoïdalité.

Dans ce qui précède, on a présenté les schémas de principe des branches du nœud séparément pour lesquels, il a été déterminé les paramètres du régime. Ces derniers permettront dans ce qui suit, d'exprimer les grandeurs caractéristiques du nœud.

Chapitre III.

Analyse de la non-sinusoidalité du régime pour un modèle statique à thyristors

Introduction

Le modèle, étudié est constitué d'un système de puissance finie, ayant une réactance $X_s = 0$, débitant dans un nœud auquel est branchée une charge linéaire représentée par l'impédance $Z_H = R_H + jX_H$; cette charge porte un caractère inductif et sa puissance, d'une manière générale est variable. Le compensateur statique est branché au même nœud. Ce dernier est constitué d'une manière générale, par deux branches capacitive et inductive, toutes les deux réglables (fig.III.1). L'ensemble du compensateur et de la charge constitue un élément non linéaire.

III. 1 Système, Réseau – charge – compensateur

Pour avoir une analyse complète sur la non-sinusoïdalité, nous avons procédé à l'étude de différents régimes - correspondants à des cas de réglage différent des branches du compensateur, ceci peut être obtenu par la variation des angles de conduction des Thyristors branchés en tête bêche (figure III.1).

On détermine les coefficients de non-sinusoïdalité du courant de la charge. Pour une puissance installée du compensateur constituant 5%, 10% et 20% de celle du système ($K_2 = X_s / X_p = 0,05 ; 0,1 ; 0,2$).

Pour ces rapports de puissance, on considère une variation de la puissance de la charge allant de 1 jusqu'à 0,5 (diminue de 2 fois), c-à-d :

$$X_H^* = \frac{X_H}{X_{HO}} = 1 \div 2$$

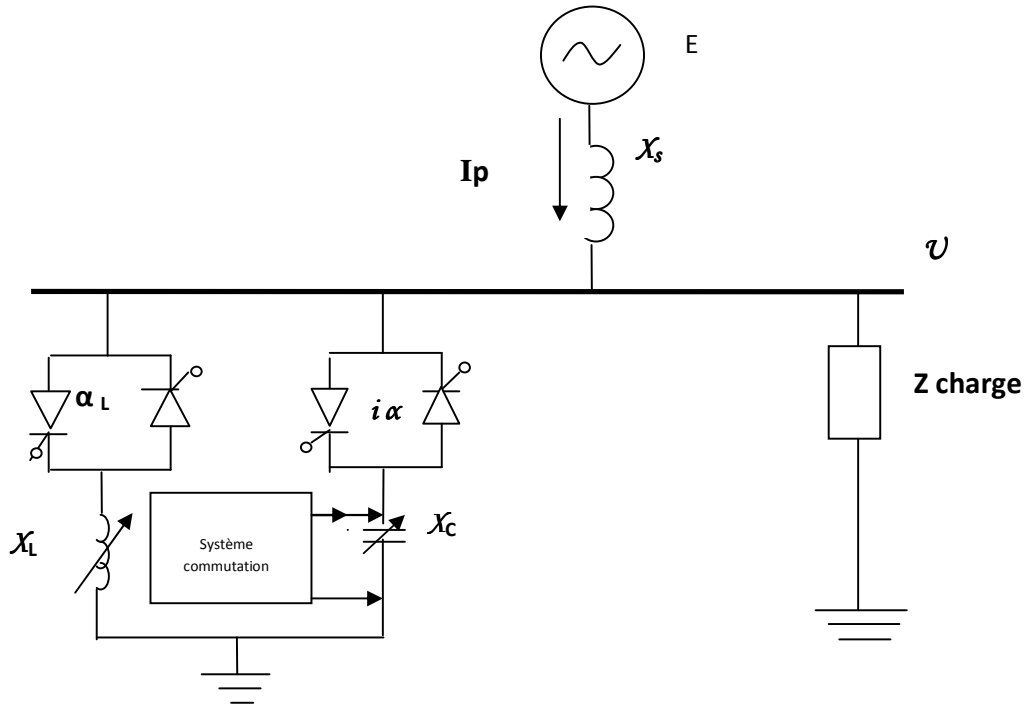


Figure. III.1. Schéma du modèle étudié

où $X_{HO} = X_p$: Réactance de la charge correspondante à la Puissance installée de cette dernière et égale à celle du compensateur quand $\alpha = 0$ (régime initial).

Si on pose $K_3 = X_S / H_H$, on peut obtenir :

$$\frac{K_2}{K_3} = \frac{\frac{X_S}{X_P}}{\frac{X_S}{X_H}} = \frac{X_H}{X_P} = \frac{X_H}{X_{HO}} = X_H^*$$

Ou bien

$$K_3 = \frac{K_2}{X_H^*}$$

Pour l'impédance Z_P , on peut écrire :

$$\frac{1}{Z_P} = \frac{1}{-jX_C} + \frac{1}{jX_L} = \frac{j(X_L - X_C)}{X_L \cdot X_C}$$

D'où :

$$Z_P = -jX_P = -j \frac{X_L \cdot X_C}{X_L - X_C}$$

Alors :

$$X_P = j \frac{X_L \cdot X_C}{X_L - X_C} \dots \dots \dots (III.1)$$

Si le compensateur doit fournir de la puissance réactive, alors X_P serait capacitif ; s'il doit en consommer, cette dernière serait inductive.

En partant de $K_2 = X_S/X_P$, et compte de (III. 1) on peut trouver :

$$K_2 = \frac{X_L - X_C}{X_L \cdot X_C} \cdot X_S = \left[\frac{1}{X_C} - \frac{1}{X_L} \right] X_S = K_{2C} - K_{2L} \dots \dots \dots (III.2)$$

Avec :

$$K_{2C} = \frac{X_S}{X_C} \qquad K_{2L} = \frac{X_S}{X_L}$$

D'autre part, le rapport entre les puissances (réactances) des branches du compensateur peut être défini comme.

$$\frac{K_{2C}}{K_{2L}} = \frac{X_L}{X_C} = K_{C,L}$$

Ce rapport est par hypothèse, réglable, c-à-d variable ; il est fonction du régime optimal recherché.

En posant $K_{2C} = K_{2L} \cdot K_{C,L}$ dans l'expression (III. 2) on trouve :

$$K_2 = K_{C,L} \cdot K_{2L} - K_{2L} = K_{2L}(K_{C,L} - 1)$$

Ou bien

$$K_{2L} = \frac{K_2}{K_{C,L} - 1} \dots \dots \dots (III.3)$$

De la même manière, en posant $K_{2L} = K_{2C}/K_{C,L}$, on peut trouver :

$$K_{2C} = \frac{K_2}{K_{C,L} - 1} \cdot K_{C,L} \dots \dots \dots (III.4)$$

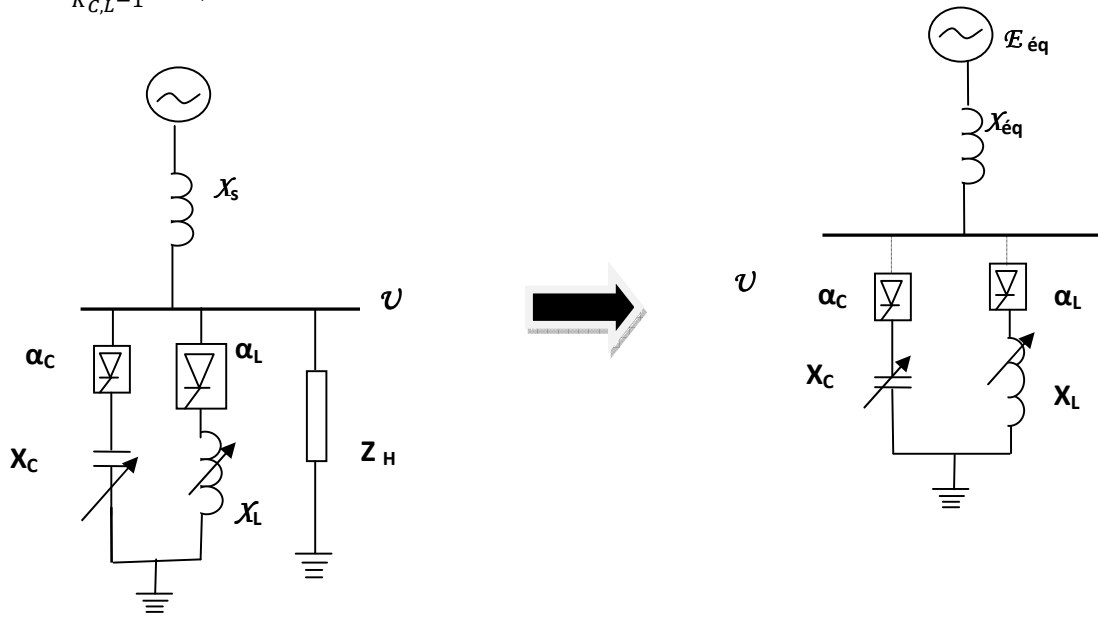


Figure II.2. a Schéma de principe du compensateur branché au nœud quand $\alpha_L = \alpha_C$

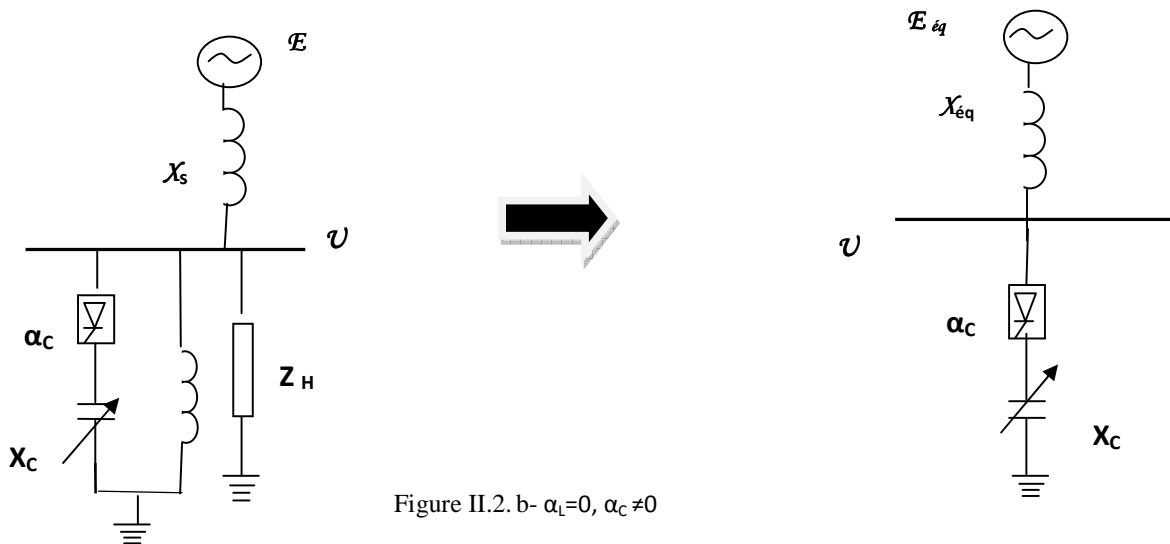


Figure II.2. b- $\alpha_L = 0, \alpha_C \neq 0$

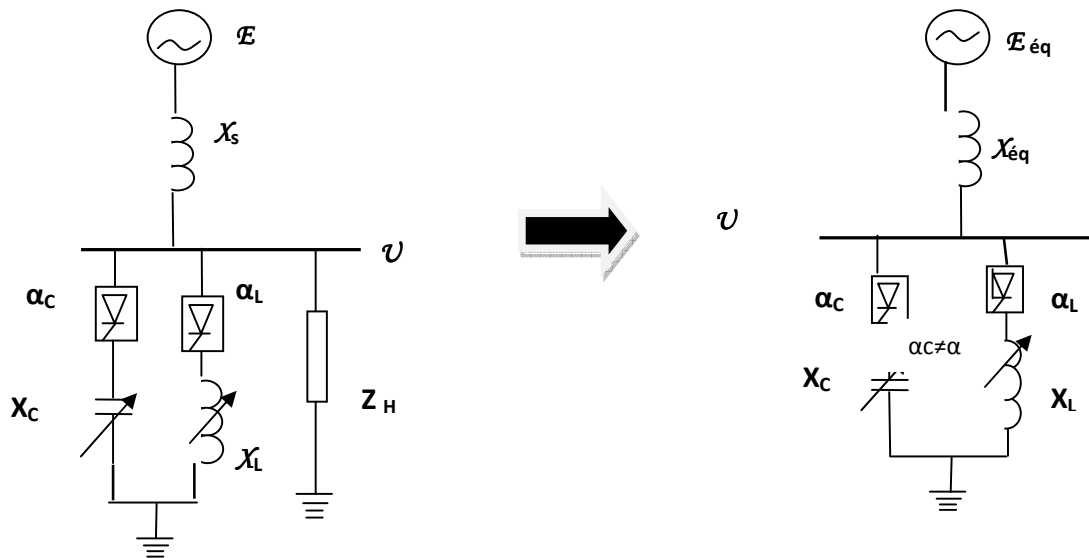


Figure II.2. c Schéma de principe du compensateur branché au nœud quand $\alpha_L \neq \alpha_c$

Ainsi, en donnant une valeur à l'une des réactances du compensateur, on peut trouver l'autre par l'expression (III .3) ou (III. 4) conformément au rapport $K_{C,L}$. Ce rapport est choisi variable dans les limites $K_{C,L} = 1,5 \div 2,5$ pour montrer concrètement l'effet des différentes possibilités de réglages mais d'une manière générale, il peut aller au delà de 2,5. Il peut être également inférieur à 1 mais dans ce cas, la branche résultante du compensateur aura un caractère inductif, or, dans ce travail on considère une charge inductive, et dans ces conditions le compensateur doit être nécessairement à caractère capacitif. Enfin, il est pris, par sa limite inférieur, différent de 1, pour éviter l'apparition de la résonance pendant le régime éventuel quand $\alpha = 0$.

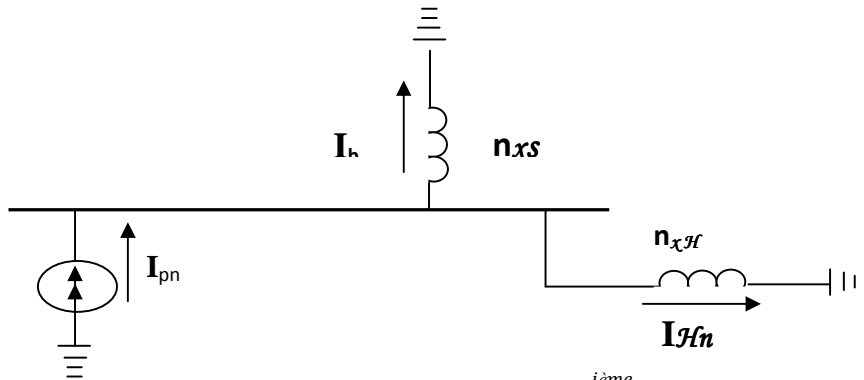


Figure III. 3. a- Schéma équivalent pour le régime $n^{ième}$ harmonique pour $\alpha c = \alpha l$

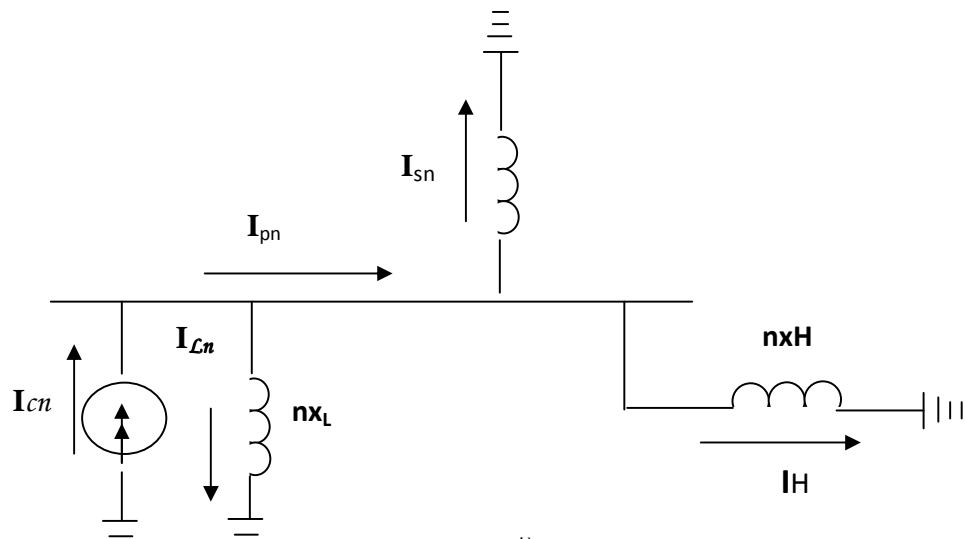


Figure III. 3. b- Schéma équivalent pour le régime $n^{ième}$ harmonique pour $\alpha l = 0$ et $\alpha c \neq 0$

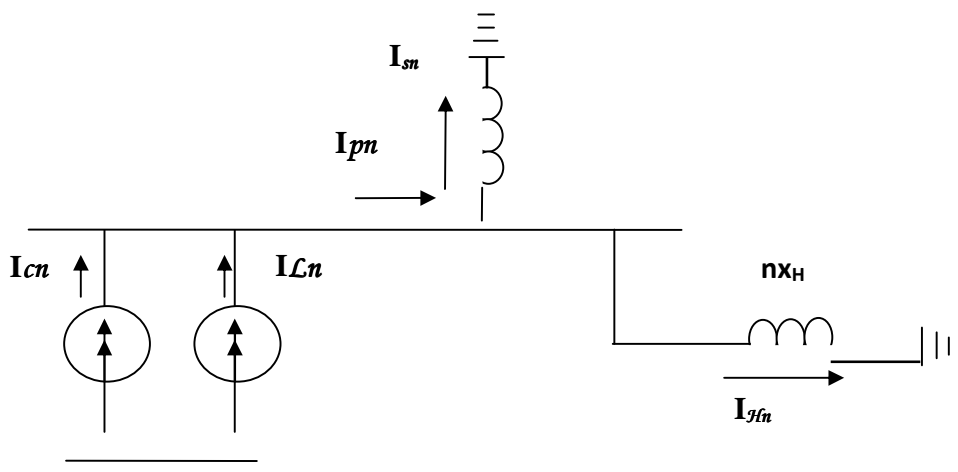


Figure III. 3. c- Schéma équivalent pour le régime $n^{ième}$ harmonique pour $\alpha l \neq 0$ et $\alpha c \neq 0$

Les rapports entre les puissances étant établis, on peut considérer les coefficients de non-sinusoidalité du courant de charge pour différents régimes de fonctionnement du compensateur. Dans ce qui suit, on fera une analyse pour différents modes de réglage des courants dans les branches du compensateur. Plus précisément, le régime quand les deux branches sont réglables et que $\alpha_L = \alpha_C$; le régime quand une seule branche est réglable, $\alpha_L = 0$; $\alpha_C \neq 0$ et le régime quand les deux branches sont réglables mais avec un décalage de phase entre les angles $\alpha_L \neq \alpha_C \neq 0$; α_C étant en avance.

III.2 Analyse de la non-sinusoidalité pour le régime $\alpha_L = \alpha_C$:

Les expressions principales déterminantes le coefficient de non-sinusoidalité du courant de charge, peuvent être déterminées, en se basant sur le diagramme linéaire, sur les expressions des courants et sur les schémas de principal et équivalent (fig III.2).

Par définition, on peut poser :

$$K_{NS(H)}^i = \frac{\sqrt{\sum_3^{11} I_{Hn}^2}}{I_{H1}} \quad (III.4)$$

En ce référent aux schémas équivalents correspondants aux différents régimes (fig. III. 2,3 et 4) on peut écrire, pour le régime considéré,

Pour les grandeurs fondamentales,

$$I_{P1} = I_{C1} + I_{L1} = I_{CO} \cdot a_{C1} + I_{LO} \cdot a_{L1} \dots \dots \dots (III.5)$$

où les courants I_{C1} , et I_{L1} sont déterminée par les expressions (II.13) et (I.18) . En remplaçant dans l'expression (III. 5)

$$I_{CO} = j \frac{K_1 \cdot K_{2C}}{1 - K_1(K_{2C} - K_{2L})} \cdot \frac{E}{X_S}$$

$$I_{LO} = -j \frac{K_1 \cdot K_{2L}}{1 - K_1(K_{2C} - K_{2L})} \cdot \frac{E}{X_S}$$

On obtient

$$I_{P1} = j \frac{K_1(K_{2C} \cdot a_{C1} - K_{2L} \cdot a_{L1})}{1 - K_1(K_{2C} - K_{2L})} \frac{E}{X_S} \dots \dots \dots (III.6)$$

La tension fondamentale du nœud aura donc pour expression,

$$U_1 = E_{eq} - jI_{P1} \cdot X_{eq} = K_1 (E - jI_{P1} \cdot X_S)$$

Et en tenant compte de (III.6), on peut écrire :

$$U_1 = K_1 \left[\frac{K_1 (K_{2C} \cdot a_{C1} - K_{2L} \cdot a_{L1})}{1 - K_1(K_{2C} - K_{2L})} \right] \cdot E \dots \dots \dots (III.7)$$

Ainsi on peut écrire pour le courant fondamental de la charge

$$I_{H1} = \frac{U_1}{jX_H} = -jK_1K_3 \left[1 + \frac{K_1(K_{2C} \cdot a_{C1} - K_{2L} \cdot a_{L1})}{1 - K_1(K_{2C} - K_{2L})} \right] \frac{E}{X_S} \dots \dots \dots (III.8)$$

De la même manière on peut procéder pour la détermination des grandeurs au niveau des harmoniques supérieures. Ainsi, en se référant aux schémas équivalents correspondants aux harmoniques supérieures, on peut trouver les paramètres. du régime considéré (fig II.5.a).

Le courant du compensateur sur le $n^{ième}$ harmoniques, s'exprime :

$$\dot{I}_{Pn} = \dot{I}_{cn} + \dot{I}_{Ln} = \dot{I}_{co} \cdot a_{cn} + I_{Lo} \cdot a_{Ln}/n \dots \dots \dots (III.9)$$

ou bien en remplaçant I_{co} et I_{Lc} par leurs valeurs,

$$I_{Pn} = j \frac{K_1 \left(K_{2C} \cdot a_{Cn} - K_{2L} \cdot \frac{a_{L1}}{n} \right) E}{1 - K_1(K_{2C} - K_{2L})} \frac{E}{X_S}$$

D'autre part en partant de l'égalité,

$$I_{Hn} \cdot Z_{Hn} = I_{Pn} \cdot Z_{eqn}$$

Avec

$$Z_{eqn} = jn K_1 \cdot X_S$$

$$Z_{Hn} = j n X_H$$

On peut trouver,

$$I_{Hn} = j \frac{K_1^2 \cdot K_3}{1 - K_1(K_{2C} - K_{2L})} \left[K_{2C} \cdot a_{cn} - K_{2L} \cdot \frac{a_{L1}}{n} \right] \frac{E}{X_S} \dots \dots \dots (III. 10)$$

Les expressions (III. 8) et (III. 10) permettent d'écrire :

$$K_{NS(H)}^i = \frac{\sqrt{\sum_3^{11} \left[\frac{K_{2C}}{K_{2L}} a_{cn} - \frac{a_{Ln}}{n} \right]^2}}{\frac{1 - K_1 \cdot K_2}{K_1 \cdot K_{2L}} + \left[\frac{K_{2C}}{K_{2L}} a_{c1} - a_{L1} \right]} \dots \dots \dots (III. 11)$$

Ayant l'expression de $K_{(NS(H))}^i$, les rapports de puissances définies par les coefficients $K_{NS(H)}^i$, l'intervalle de variation retenue de la puissance de charge ont peut remplir les tableaux de calcul

Tableaux (III.1à6) .Pour une puissance installée du compensateur constituant respectivement 5,10 et 20% de celle du système.

Conformément aux calculs réalisés on peut tracer les caractéristiques statiques de la non-sinusoïdalité du nœud .Ces dernières sont représentées, pour le régime considéré par les figures. III. 4, 5 et 6.

L'allure des courbes ainsi que les apparitions des extremums s'expliquent d'une manière simple. En se référant au travail [9], on peut dire que l'effet inductif croit dans le sens de $\pi/2$ vers 0, il atteint son maximum au voisinage de $\pi/6$, inversement l'effet capacitif croit dans le sens de 0 vers $\pi/2$ et atteint son maximum au voisinage de $5\pi/12$.

L'interaction de ces deux effets donne lieu aux courbes obtenues pour différents cas. Dans les cas considérés, l'effet inductif au niveau des harmoniques supérieures est plus grand que celui capacitif et diminue avec l'augmentation relative de la puissance installée de la branche capacitive.

k_2	0,5					0,05					0,05				
$x_H^* = \frac{k_{2c}}{k_{2L}}$	1	1,2	1,4	1,6	2	1	1,2	1,4	1,6	2	1	1,2	1,4	1,6	2
k_3	0,05	0,041	0,035	0,031	0,025	0,05	0,041	0,035	0,031	0,025	0,05	0,041	0,035	0,031	0,025
k_1	0,952	0,960	0,965	0,969	0,975	0,952	0,960	0,965	0,969	0,975	0,952	0,960	0,965	0,969	0,975
$\frac{k_{2c}}{k_{2L}}$	1,5					2					2,5				
k_{2L}	0,1					0,05					0,0333				
k_{2c}	0,15					0,1					0,0833				

Tableau III.1 Rapport des puissances des éléments du nœud $k_2 = 0.05$

k_2	0,10					0,1					0,1				
$x_H^* = \frac{k_{2c}}{k_{2L}}$	1	1,2	1,4	1,6	2	1	1,2	1,4	1,6	2	1	1,2	1,4	1,6	2
k_3	0,1	0,083	0,071	0,062	0,05	0,1	0,083	0,071	0,062	0,05	0,1	0,083	0,071	0,062	0,05
k_1	0,909	0,923	0,923	0,941	0,952	0,909	0,923	0,923	0,941	0,952	0,909	0,923	0,923	0,941	0,952
$\frac{k_{2c}}{k_{2L}}$	1,5					2					2,5				
k_{2L}	0,2					0,1					0,066				
k_{2c}	0,3					0,2					0,166				

Tableau III.2 Rapport des puissances des éléments du nœud $k_2 = 0.1$

k_2	0,2					0,2					0,2				
$x_H^* = \frac{k_{2c}}{k_{2L}}$	1	1,2	1,4	1,6	2	1	1,2	1,4	1,6	2	1	1,2	1,4	1,6	2
k_3	0,2	0,16	0,14	0,12	0,1	0,2	0,16	0,14	0,12	0,1	0,2	0,16	0,14	0,12	0,1
k_1	0,83	0,86	0,87	0,89	0,90	0,83	0,86	0,87	0,89	0,90	0,83	0,86	0,87	0,89	0,90
$\frac{k_{2c}}{k_{2L}}$	1,5					2					2,5				
k_{2L}	0,4					0,2					0,1333				
k_{2c}	0,6					0,4					0,3333				

Tableau III.3 Rapport des puissances des éléments du nœud $k_2 = 0.2$

$\frac{k_{2c}}{k_{2L}}$	χ_{H^*}	α	0	$\pi/12$	$\pi/6$	$\pi/4$	$\pi/3$	$5\pi/12$	$\pi/2$
1.5	1	k_{N5}	0	0.0120	0.0147	0.0116	0.064	0.00638	0
	2		0	0.0124	0.0156	0.0114	0.0056	0.0065	0
2	1		0	0.0058	0.0072	0.0055	0.0274	0.0031	0
	2		0	0.0059	0.0074	0.0056	0.0028	0.0032	0
2.5	1		0	0.0038	0.0047	0.0036	0.0018	0.00212	0
	2		0	0.0039	0.0049	0.0037	0.0018	0.0021	0

Tableau III. 4. Caractéristiques de non-sinusoidalité du courant de charge $k_2= 0.05$ et $\alpha l=\alpha c$

$\frac{k_{2c}}{k_{2L}}$	χ_{H^*}	α	0	$\pi/12$	$\pi/6$	$\pi/4$	$\pi/3$	$5\pi/12$	$\pi/2$
1.5	1	k_{N5}	0	0.026	0.0307	0.0227	0.0107	0.0127	0
	2		0	0.0276	0.0325	0.0239	0.0116	0.0134	0
2	1		0	0.120	0.0147	0.011	0.0055	0.0063	0
	2		0	0.127	0.0155	0.0117	0.0057	0.0067	0
2.5	1		0	0.0077	0.0096	0.0073	0.0036	0.0042	0
	2		0	0.0082	0.0101	0.0077	0.0038	0.0044	0

Tableau III.5. Caractéristiques de non-sinusoidalité du courant de charge $k_2= 0.1$ et $\alpha l=\alpha c$

$\frac{k_{2c}}{k_{2L}}$	χ_{H^*}	α	0	$\pi/12$	$\pi/6$	$\pi/4$	$\pi/3$	$5\pi/12$	$\pi/2$
1.5	1	k_{N5}	0	0.0615	0.071	0.0472	0.022	0.025	0
	2		0	0.0704	0.0754	0.0524	0.0247	0.0282	0
2	1		0	0.026	0.030	0.027	0.011	0.0127	0
	2		0	0.0340	0.340	0.0280	0.0121	0.0140	0
2.5	1		0	0.016	0.0199	0.0149	0.0073	0.0085	0
	2		0	0.0182	0.0219	0.0164	0.0080	0.0093	0

Tableau III.6. Caractéristiques de non-sinusoidalité du courant de charge $k_2= 0.2$ et $\alpha l=\alpha c$

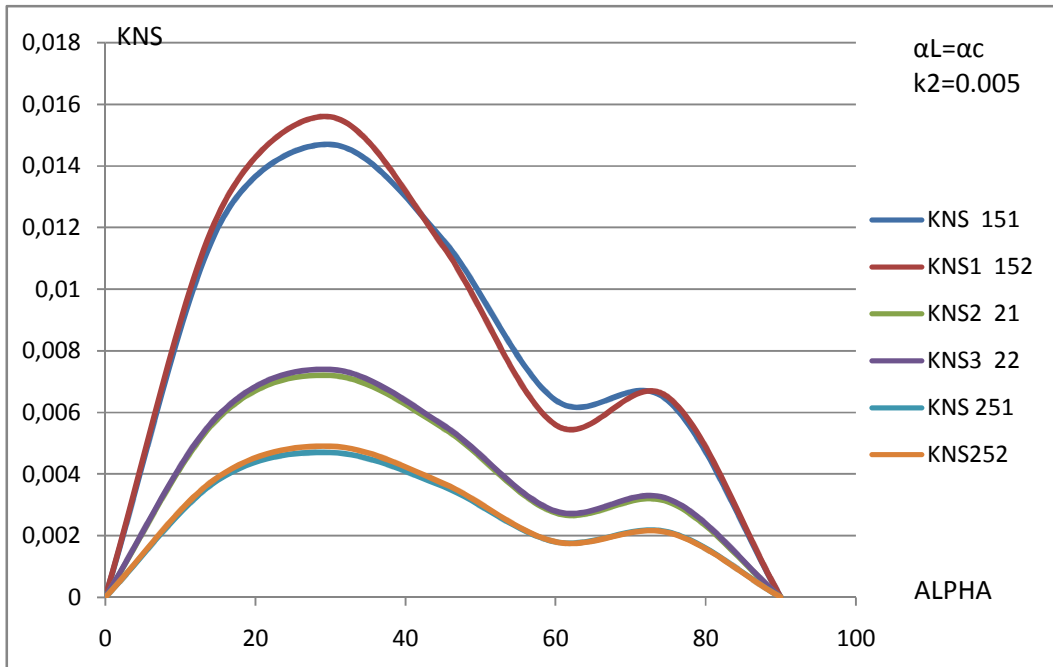


Figure III.4. Caractéristiques de non-sinusoidalité du courant de charge $k_2= 0.05$ et $\alpha_l=\alpha_c$

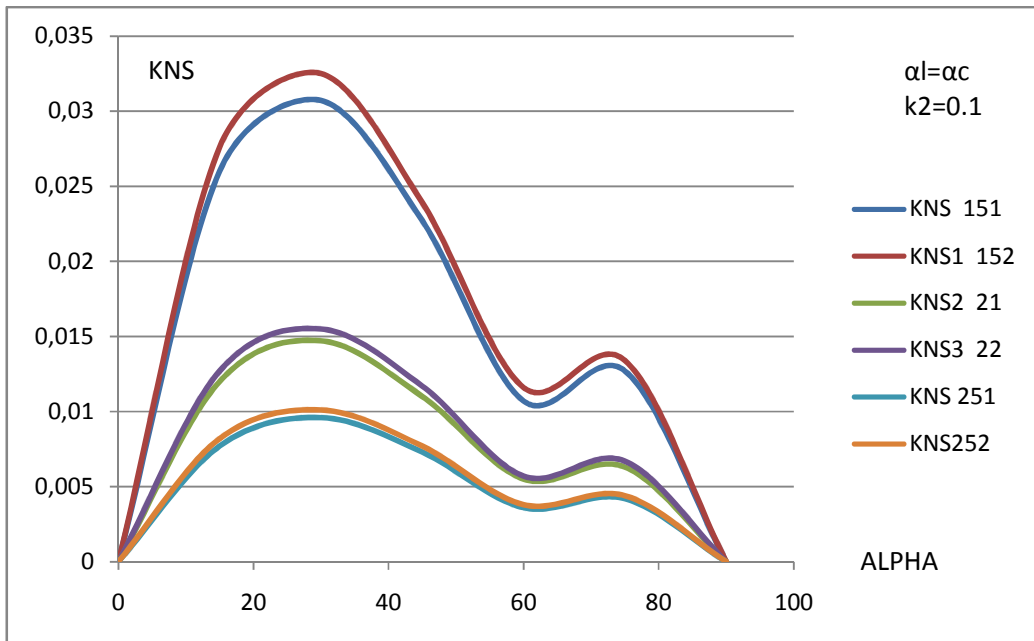


Figure III.5. Caractéristiques de non-sinusoidalité du courant de charge $k_2= 0.1$ et $\alpha_l=\alpha_c$

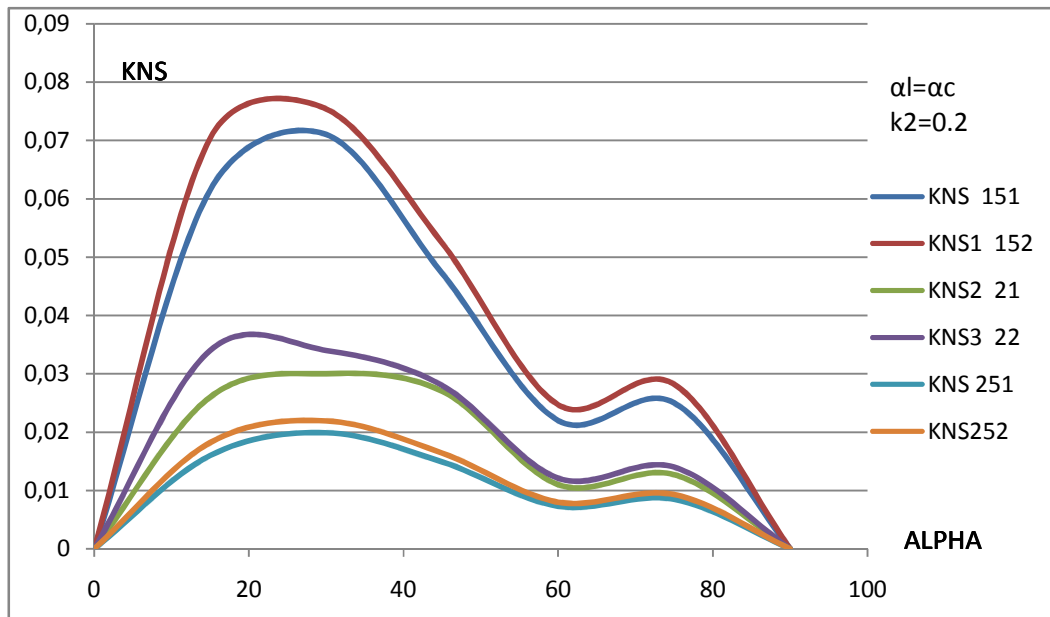


Figure III.6. Caractéristiques de non-sinusoidalité du courant de charge $k_2=0.2$ et $\alpha_l=\alpha_c$

L'allure des courbes ainsi que les apparitions des extremums s'expliquent d'une manière simple, on peut dire que l'effet inductif croit dans le sens de $\pi/2$

Aussi l'observation des courbes montre que le régime de réglage quand $\alpha_l=\alpha_c$ des branches du compensateur (réglage synchronisé) peut obtenir un effet compensatoire important de la non-sinusoidalité du courant, contrairement au régime dans le cas où l'une des branches est absente.

Cette analyse permet de fixer immédiatement et d'une manière préliminaire pour le régime considéré $\alpha_L = \alpha_C$, la zone dans laquelle le K_{NS} s est plus faible possible. Ce dernier est obtenu quand :

$$\alpha = \frac{13\pi}{48} \div \frac{5\pi}{12} ; \text{ et pour } \frac{K_{2C}}{K_{2L}} \text{ variant dans le sens de l'augmentation}$$

III.3 Analyse de la non sinusoidalité quand $\alpha_L = 0$ et $\alpha_C \neq 0$

Nous avons par définition :

$$K_{NS(H)}^i = \frac{\sqrt{\sum_3^{11} I_{Hn}^2}}{I_{H1}}$$

Toujours en se basant sur le diagramme linéaire et sur les schémas de principe et équivalents (figure.III.2.b), on peut écrire que dans l'intervalle $(0 \div \alpha_c)$ le courant dans la branche capacitif du compensateur est nul $I_c = 0$, mais $I_L \neq 0$. La tension du nœud correspondrait alors à la valeur :

$$u = \sqrt{2} U_0 \cos wt$$

Du schéma équivalent correspondant, il découle que,

$$U_{(1)} = E_{eq} - j I_{C1} \cdot X_{eq} = K_{(1)} (E - j I_{C1} \cdot X_S) \dots \dots \dots (III. 12)$$

Avec :

$$K_{(1)} = \frac{K_1}{1 + K_1 \cdot K_{2L}}$$

$U_{(1)}$: Valeur efficace de la tension fondamentale du nœud dans le régime considéré.

$$U_{(1)} \neq U_1$$

Sachant que le courant fondamental dans la réactance X_c est :

$$I_{C1} = +j I_{C0} a_{C1} = I_{C0} a_{C1}$$

On peut écrire,

$$U_{(1)} = K_{(1)} (E - j I_{C0} + a_{C1})$$

Ce qui donnera après transformation,

$$U_{(1)} = K_{(1)} \left[1 + \frac{k_1 K_{2C} a_{C1}}{1 - K_1 (K_{2C} - K_{2CL})} \right] E \dots \dots \dots (III. 13)$$

Cette tension appliquée à la branche de la charge engendrera un courant égal,

$$I_{H1} = \frac{U_{(1)}}{j X_H} = -j K_{(1)} K_3 \left[1 + \frac{k_1 K_{2C} a_{C1}}{1 - K_1 (K_{2C} - K_{2CL})} \right] \frac{E}{X_H} \dots \dots \dots (III. 14)$$

Du schéma équivalent (fig. II. 5.b), il découle que le courant résultant du nième harmonique dans la charge peut être exprimé comme suit :

$$I_{Hn} = I_{Cn} \frac{Z_{eqn}}{Z_{Hn}} = \frac{j_n K_{(1)} X_S}{j_n \cdot X_H} \cdot I_{Cn} = K_{(1)} \cdot K_3 \cdot I_{Cn}$$

Ou bien tenant compte que $I_{Cn} = I_{CO} \cdot a_{Cn}$,

$$I_{Hn} = j \frac{K_1 \cdot K_{(1)} \cdot K_{2C} \cdot K_3}{1 - K_1(K_{2C} - K_{2CL})} \cdot a_{Cn} \cdot \frac{E}{X_S} \dots \dots \dots (III. 15)$$

En valeur relative.

$$I_{Hn}^* = j \frac{K_1 \cdot K_{(1)} \cdot K_{2C} \cdot K_3}{1 - K_1(K_{2C} - K_{2CL})} \cdot a_{Cn} \dots \dots \dots (III. 16)$$

Où Z_{eqn} se détermine comme suit :

$$\frac{1}{Z_{eqn}} = \frac{1}{j_{nxH}} + \frac{1}{j_{nxs}} + \frac{1}{j_{nxl}}$$

$$\text{Et } Z_{eqn} = j_n \cdot K_{(1)} \cdot X_S \dots \dots \dots (III. 17)$$

Ainsi on peut exprimer après quelques transformations trigonométriques K_{NS} .

$$K_{NS(H)}^i = \frac{\sqrt{\sum_3^{11} \left[\frac{K_{2C}}{K_{2L}} a_{Cn} \right]^2}}{\left[\frac{1}{K_1 \cdot K_{2L}} - \frac{K_{2C}}{K_{2L}} + \frac{K_{2C}}{K_{2L}} \cdot a_{c1} \right]} \quad (III. 18)$$

k_2	0,05					0,05					0,05				
	1	1,2	1,4	1,6	2	1	1,2	1,4	1,6	2	1	1,2	1,4	1,6	2
XH*=k2/k3															
k_3	0,05	0,04	0,035	0,03	0,02	0,05	0,04	0,03	0,03	0,02	0,05	0,04	0,03	0,03	0,02
		1		1	5		1	5	1	5		1	5	1	5
k_l	0,95		0,96		0,97	0,95		0,96		0,97	0,95		0,96		0,97
$\frac{k_{2c}}{k_{2L}}$	1.5					2					2.5				
k_{2L}	0.1					0.05					0.0333				

k_{2c}	0.15	0.1	0.0833
----------	------	-----	--------

Tableau III.7 Rapport des puissances du nœud pendant le processus de réglage, $\alpha \neq 0$ et $\alpha c = 0$

k_2	0.2					0.2					0.2				
$X_{H^*} = k_2/k$	1	1.2	1.4	1.6	2	1	1.2	1.4	1.6	2	1	1.2	1.4	1.6	2
3															
k_3	0.2	0.16	0.14	0.12	0.1	0.2	0.16	0.14	0.12	0.1	0.2	0.16	0.14	0.12	0.1
k_7	0.83		0.87		0.90	0.83		0.87		0.90	0.83		0.87		0.90
$\frac{k_{2c}}{k_{2L}}$	1.5					2					2.5				
k_{2L}	0.4					0.2					0.1333				
k_{2c}	0.6					0.4					0.3333				

Tableau III.8 Rapport des puissances du nœud pendant le processus de réglage, $\alpha \neq 0$ et $\alpha c \neq 0$

$\frac{k_{2c}}{k_{2L}}$	X_{H^*}	α	0	$\pi/12$	$\pi/6$	$\pi/4$	$\pi/3$	$5\pi/12$	$\pi/2$
1.5	1	k_{N5}	0	0.045	0.0305	0.0318	0.066	0.062	0
2	1		0	0.0308	0.0205	0.0211	0.044	0.0413	0
2.5	1		0	0.0257	0.0171	0.0178	0.0368	0.035	0

Tableau III.9 Caractéristiques de non-sinusoidalité du courant de charge, $\alpha l = 0$ et $\alpha c \neq 0$ et $k_2 = 0.05$

$\frac{k_{2c}}{k_{2L}}$	X_{H^*}	α	0	$\pi/12$	$\pi/6$	$\pi/4$	$\pi/3$	$5\pi/12$	$\pi/2$
1.5	1	k_{N5}	0	0.161	0.107	0.111	0.231	0.218	0
2	1		0	0.112	0.074	0.076	0.161	0.150	0
2.5	1		0	0.096	0.064	0.067	0.138	0.133	0

Tableau II.10 Caractéristiques de non-sinusoidalité du courant de charge, $\alpha_l = 0$ et $\alpha_c \neq 0$ et $k_2 = 0.2$

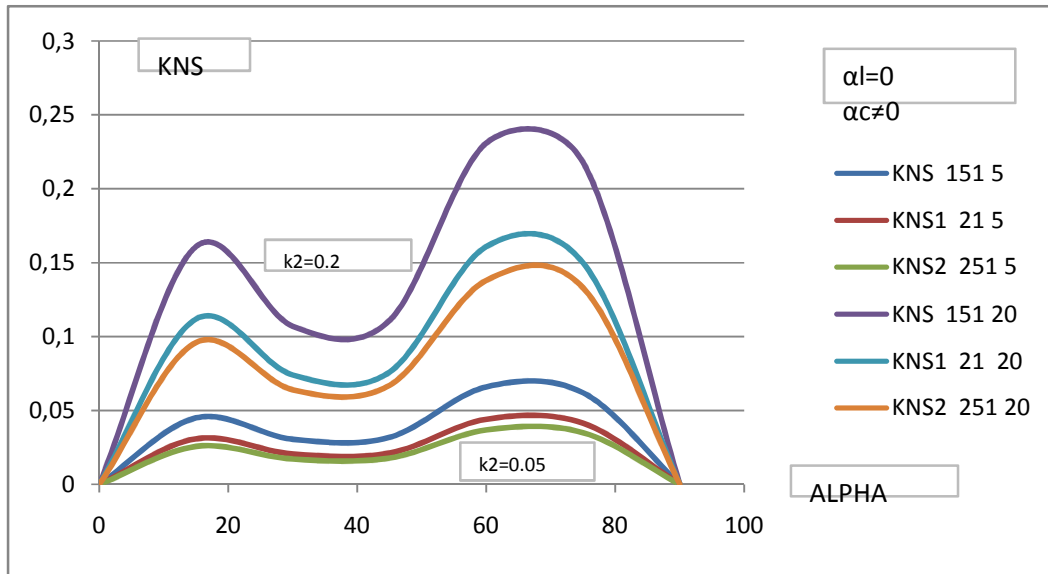


Figure. III.9. Caractéristiques statiques du coefficient de non sinusoidalité du courant, $\alpha_l = 0$ et $\alpha_c \neq 0$

Les valeurs pour $K_{ns(H)}$ pour les différents rapports donnés sont reportés dans les tableaux de calcul, tableaux (III. 9, III. 10), leur graphique en fonction de α sont représentés par la figure III.9.

On a considéré le régime quand seule la branche capacitive est réglable ($\alpha_L = 0$), on peut voir que les courbes du coefficient K_{NS} ont une allure différente de celles des courbes obtenues précédemment.

Ici, on peut immédiatement remarquer sur le graphique (figure. III.9) pour les mêmes cas de variation relative des puissances installées du nœud, l'effet déterminant de la capacité sur le K_{NS} du courant de la charge.

En effet dans la zone à influence capacitive le K_{NS} dépasse largement 20 % tandis que dans la zone à influence inductive, il atteint au maximum environ 16 %. Dans l'intervalle $\alpha =$

$\frac{\pi}{6} \div \frac{\pi}{4}$ séparant ces deux zones, le K_{NS} est minimum possible, il est pratiquement constant.

On peut dire, en remarque, que en l'absence du réglage d'une branche ; le K_{NS} augmente considérablement d'où la confirmation du fait compensateur dans le régime précédent.

Les remarques faites précédemment pour le régime $\alpha_L = \alpha_C$ restent en vigueur pour le régime qu'on considère, sauf que pour ce dernier, les valeurs de $K_{NS}(\alpha)$ sont relativement plus grandes par rapport au précédent.

Cependant dans la zone $\alpha = \frac{\pi}{6} \div \frac{\pi}{4}$ les valeurs de K_{NS} restent admissibles.

III. 4 Analyse de la non-sinusoidalité quand $\alpha_L \neq \alpha_C \neq 0$:

Pour ce régime on utilise les mêmes expressions correspondantes au régime quand $\alpha_L = \alpha_C$, mais avec la condition que les valeurs α_{cn} d'un côté et les valeurs α_{Ln} de l'autre, doivent être prises pour des angles différents et correspondants au régime donné, dans ce cas at. étant inférieur à α_C ($\alpha_L < \alpha_C$).

Par exemple on peut considérer le régime suivant :

N°	1	2	3	4	5	6	7
α_L	0	$\frac{\pi}{12}$	$\frac{\pi}{6}$	$\frac{\pi}{4}$	$\frac{\pi}{3}$	$\frac{5\pi}{12}$	$\frac{\pi}{2}$
α_C	$\frac{\pi}{12}$	$\frac{\pi}{6}$	$\frac{\pi}{4}$	$\frac{\pi}{3}$	$\frac{5\pi}{12}$	$\frac{\pi}{2}$	0

Pour la colonne N°2 correspondante au régime $\alpha_L = 0$ et $\alpha_C = \frac{\pi}{12}$, on peut prendre les points déterminés dans le cas du régime $\alpha_L = 0$, $\alpha_C \neq 0$ (quand $\alpha_C = \frac{\pi}{12}$).

k_2	0,05					0,05					0,05				
$XH^*=k_2/3$	1	1,2	1,4	1,6	2	1	1,2	1,4	1,6	2	1	1,2	1,4	1,6	2
k_3	0,05		0,035		0,02	0,05		0,03	0,03	0,02	0,05		0,03		0,02
					5			5	1	5			5		5
k_1	0,95		0,96		0,97	0,95		0,96		0,97	0,95		0,96		0,97
$\frac{k_{2c}}{k_{2L}}$	1.5					2					2.5				
k_{2L}	0.1					0.05					0.0333				
k_{2c}	0.15					0.1					0.0833				

Tableau III.11 Rapport des puissances du nœud pendant le processus de réglage, $\alpha \neq 0$ et $\alpha c \neq 0$ et $k_2=0.05$

k_2	0.2					0.2					0.2				
$XH^*=k_2/3$	1	1.2	1.4	1.6	2	1	1.2	1.4	1.6	2	1	1.2	1.4	1.6	2
k_3	0.2	0.16	0.14	0.12	0.1	0.2	0.16	0.14	0.12	0.1	0.2	0.16	0.14	0.12	0.1
k_1	0.83	0.86	0.87	0.86	0.90	0.83	0.86	0.87	0.86	0.90	0.83	0.86	0.87	0.89	0.90
															9
$\frac{k_{2c}}{k_{2L}}$	1.5					2					2.5				
k_{2L}	0.4					0.2					0.1333				
k_{2c}	0.6					0.4					0.3333				

Tableau III.12 Rapport des puissances du nœud pendant le processus de réglage, $\alpha \neq 0$ et $\alpha c \neq 0$ et $k_2=0.2$

—	XH*	α	—						0
1.5	1			0.0615	0.067	0.0472	0.022	0.025	
2	1			0.112	0.026	0.0307	0.0227	0.0110	
2.5	1			0.0164	0.019	0.0149	0.0073	0.0085	

Tableau III.13. Caractéristiques de non-sinusoidalité du courant de charge, $\alpha_l \neq 0$ et $\alpha_c \neq 0$ et $k_2=0.2$

—	XH*	α							0
1.5	1			0.0115	0.014	0.0106	0.0052	0.0061	
2	1			0.0058	0.0072	0.055	0.027	0.032	
2.5	1			0.025	0.0171	0.0178	0.0368	0.0355	

Tableau III.14. Caractéristiques de non-sinusoidalité du courant de charge, $\alpha_l \neq 0$ et $\alpha_c \neq 0$ et $k_2=0.05$

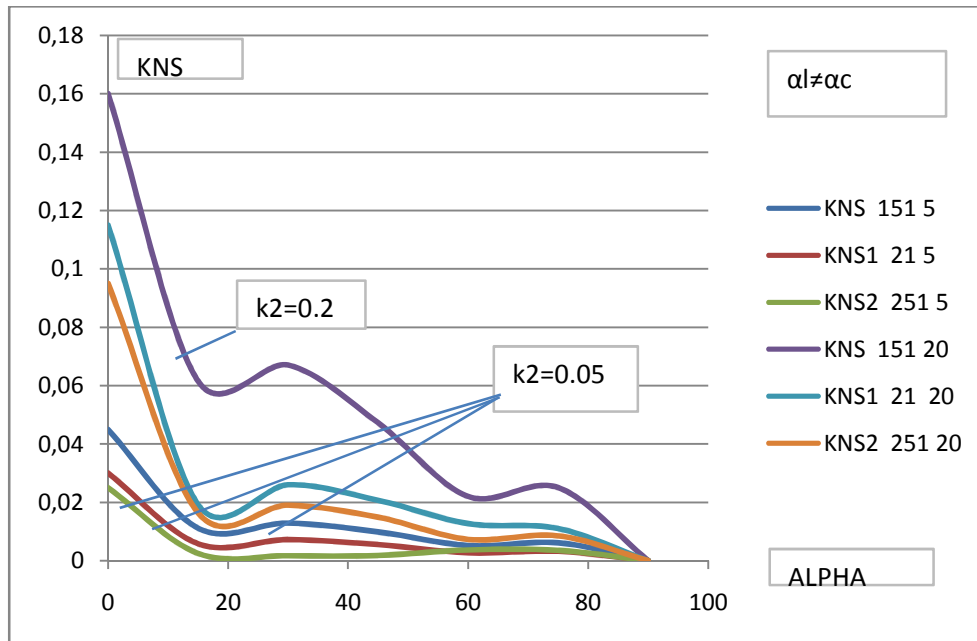


Figure. III.10. Caractéristiques statiques du coefficient de non sinusoidalité du courant, $\alpha_l \neq 0$ et $\alpha_c \neq 0$

Les courbes obtenues dans ce cas, quand $\alpha_L \neq 0$; $\alpha_C \neq 0$, ont une allure intéressante , dans l'ensemble les courbes se rapprochent de celles obtenues pour le régime $\alpha_L = \alpha_C$, mais les valeurs de K_{NS} sont plus inférieures à celles correspondantes à ce dernier régime.

Cette diminution est due au fait que , quand le thyristor ouvre la branche capacitive, le courant dans cette dernière variant par saut à cet instant, est amorti par le courant qui circule déjà dans la branche capacitive ($\alpha_L < \alpha_C$). L'effet contraire est obtenu pour la tension, quand le circuit de l'inductance se ferme la tension dans le nœud varie brusquement et comme à cet instant le circuit de la capacité est ouvert, l'effet compensatoire est alors absent, ce qui a pour effet d'augmenter le K_{NS} de la tension.

D'autre part pour réaliser le régime de réglage désynchronisé, il est nécessaire d'avoir deux blocs de commande.

De ces considérations, il découle que le régime le plus convenable serait celui quand $\alpha_L = \alpha_C$ qui, dans tous les cas de réglage et quand ($0 \div \frac{\pi}{2}$), donne un K_{NS} du courant de la charge admissible.

Ainsi pour les analyses qui vont suivre, on retiendra le régime correspondant à $\alpha_L = \alpha_C$. Habituellement quand on représente la branche non linéaire comme source de courant, pendant les analyses on ne cherche qu'à évaluer la non-sinusoïdalité du courant dans les branches.

En effet les courants générés par ces sources vont circuler dans les différentes branches du système en provoquant des pertes actives et en déformant les courbes instantanées des paramètres du régime. Il est donc nécessaire d'évaluer le taux de non-sinusoïdalité correspondant. Pour cette raison, dans ce paragraphe, on s'est particulièrement intéressé à l'analyse du courant. Cependant on peut faire également des remarques de la non-sinusoïdalité de la tension.

Il est nécessaire de préciser que les calculs et par conséquent les courbes d'évaluation restent très approximatifs puisque pour évaluer d'une manière juste le K_{NS} de la tension, on doit déterminer le contenu harmonique de la courbe instantanée non linéaire de la tension dans ce nœud (figure.III 2.a).

Ainsi dans le cas considéré, on détermine le $n^{\text{ième}}$ harmonique de la tension dans ce nœud, comme le produit du courant du $n^{\text{ième}}$ harmonique d'une branche parallèle par la réactance correspondante par exemple si le courant du $n^{\text{ième}}$ harmonique dans la branche de la charge est connu, on peut écrire :

$$U_n = jI_{Hn} \cdot X_{Hn} = j_n \cdot I_{Hn} \cdot X_H$$

Ou bien d'une autre manière :

$$U_n = jI_{pn} \cdot X_{eqn} = j_n \cdot I_{pn} \cdot X_{eq}$$

Avec :

$$I_{pn} = I_{cn} + I_{ln} = J \frac{K_1}{1 - K_1(K_{2c} - K_{2L})} \left(K_{2c} a_{cn} - K_{2L} \frac{a_{Ln}}{n} \right) \frac{E}{X_S}$$

Alors :

$$U_n = - \frac{K_1^2}{1 - K_1(K_{2c} - K_{2L})} \left(K_{2c} a_{cn} - K_{2L} \frac{a_{Ln}}{n} \right) \frac{E}{X_S}$$

Sachant que :

$$U_1 = K_1 \left[1 + \frac{K_1(K_{2c} a_{c1} - K_{2L} a_{L1})}{1 - K_1(K_{2c} - K_{2L})} \right] \cdot E$$

Par conséquent le coefficient K_{NS} de la tension s'exprime :

$$K_{NS}(U) = \frac{\sqrt{\sum_3^{11} U_n^2}}{U_1} = \frac{\sqrt{\sum_3^{11} U^2 \left[\frac{K_{2c}}{K_{2L}} a_{cn} - \frac{a_{Ln}}{n} \right]}}{\frac{1 - K_1 \cdot K_2}{K_1 \cdot K_{2L}} + \left[\frac{K_{2c}}{K_{2L}} a_{c1} - a_{L1} \right]} \dots \dots \dots (III. 19)$$

Ayant l'expression de $K_{NS}(U)$, les rapports de Puissance définis par les coefficients $K_{NS(H)}^{(u)}$, l'intervalle de variation retenu de la Puissance de la charge, on peut remplir les tableaux de calcul tableaux (III. 15, III. 16), pour une Puissance installée du

compensateur constituant respectivement 10 et 20% de celle du système.

Les courbes donnant le coefficient de non-sinusoidalité sont représentées par les figure. III. 11, III. 12 conformément à la dernière équation, on a considéré les cas où $K_2 = 10$ et 20%, pour une variation du rapport K_{2C}/K_{2L} allant de 1, 5 à 4.

On peut constater, à partir des courbes, que $K_{NS}^{(U)}$ est relativement très élevé, et il est autant plus élevé que K_2 augmente K_{2C}/K_{2L} diminue.

Le $K_{NS}^{(U)}$ atteint ses valeurs maximales dans la bande $\alpha = \pi/6 \div \pi/4$ et quand la puissance installée du compensateur constitue 10% de celle du réseau, avec $K_{2C}/K_{2L} > 3 \div 4$.

On peut dire que le diapason le plus convenable pour le réglage est délimité par : $\alpha = 7\pi/48 \div \pi/4$

$\frac{k_{2c}}{k_{2L}}$	χ_{H^*}	α	0	$\pi/12$	$\pi/6$	$\pi/4$	$\pi/3$	$5\pi/12$	$\pi/2$
1.5	1	k_{NS}	0	0.4815	0.3274	0.3599	0.4917	0.636	0
	2		0	0.5031	0.3416	0.3754	0.5136	0.6665	0
2	1		0	0.3210	0.2196	0.2484	0.3402	0.4293	0
	2		0	0.3358	0.229	0.2598	0.3562	0.4505	0
2.5	1		0	0.26320	0.1798	0.2068	0.2831	0.3543	0
	2		0	0.2753	0.1881	0.2163	0.2973	0.3718	0
3	1		0	0.237	0.162	0.188	0.258	0.321	0
	2		0	0.248	0.169	0.197	0.271	0.337	0
4	1		0	0.189	0.128	0.151	0.208	0.256	0
	2		0	0.205	0.139	0.164	0.226	0.279	0

Tableau. III. 15. Caractéristiques de la non sinusoidalité de la tension, quand $k_2=0.1$

—	XH*	α	0						
1.5	1		0	0.8446	0.5600	0.6136	0.8594	1.171	0
	2		0	0.9076	0.5992	0.6561	0.9229	1.2692	0
2	1		0	0.5731	0.3873	0.439	0.6148	0.806	0
	2		0	0.6192	0.4177	0.4793	0.666	0.8807	0
2.5	1		0	0.4115	0.3240	0.3741	0.5244	0.6779	0
	2		0	0.5156	0.3493	0.4037	0.5680	0.7391	0
3	1		0	0.429	0.291	0.340	0.477	0.612	0
	2		0	0.464	0.314	0.368	0.518	0.660	0
4	1		0	0.376	0.255	0.302	0.425	0.539	0
	2		0	0.407	0.276	0.328	0.462	0.590	0

Tableau. III. 16. Caractéristiques de la non sinusoidalité de la tension, quand $k_2=0.2$

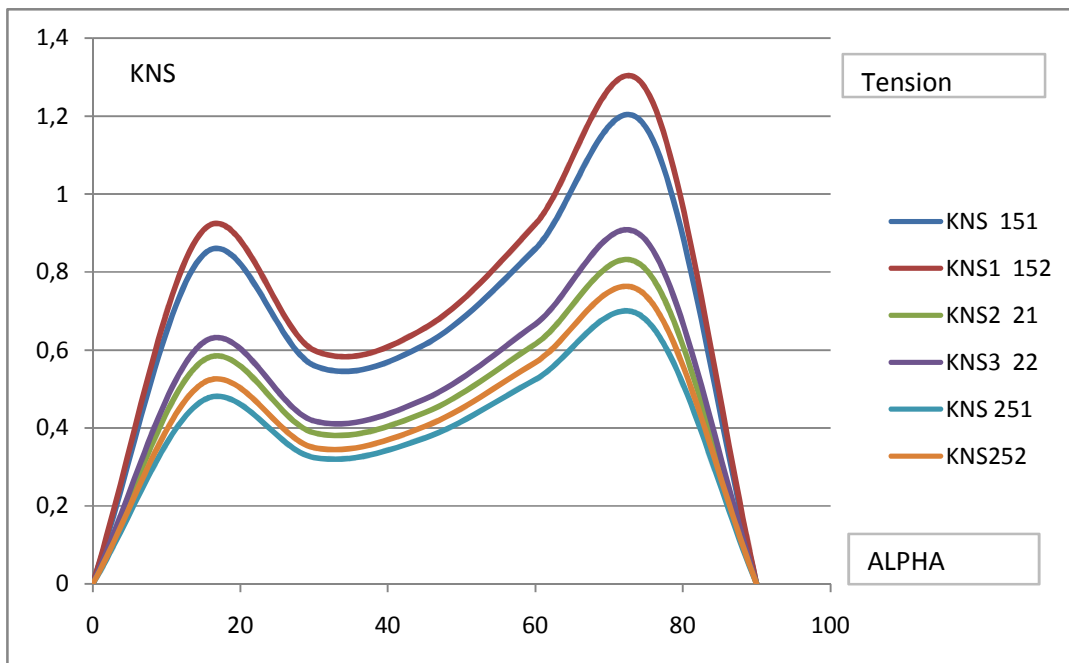


Figure III. 11.a- Caractéristiques de la non sinusoidalité de la tension en fonction de α : $\alpha_1=\alpha_c$ et $k_2=0.1$

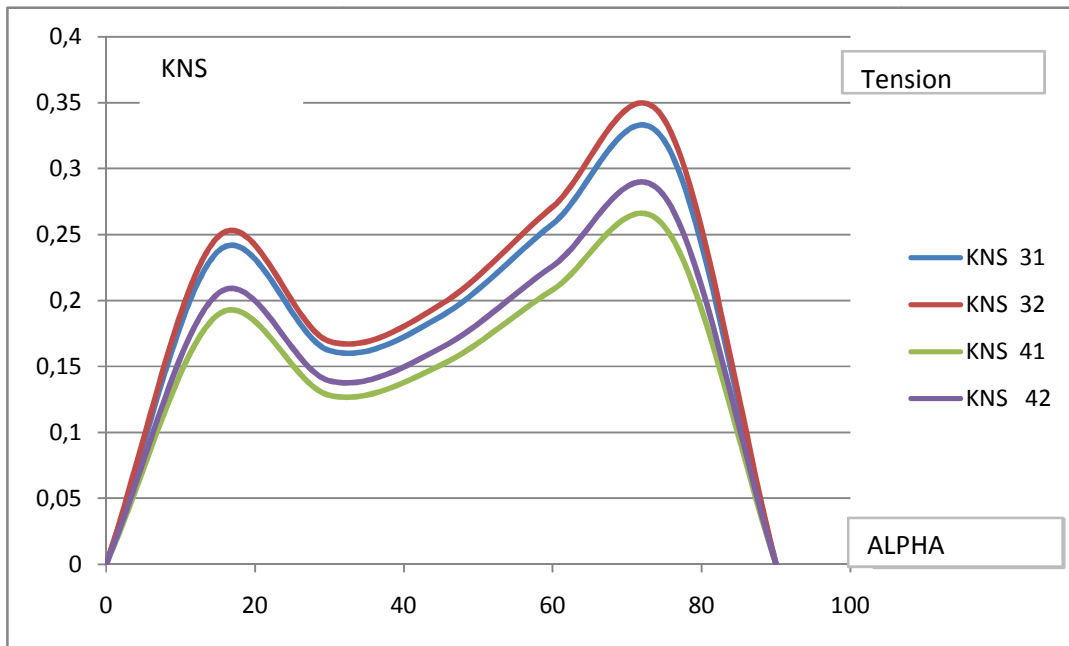


Figure III. 11.b- Caractéristiques de la non sinusoidalité de la tension en fonction de α : $\alpha l = \alpha c$ et $k_2 = 0.1$

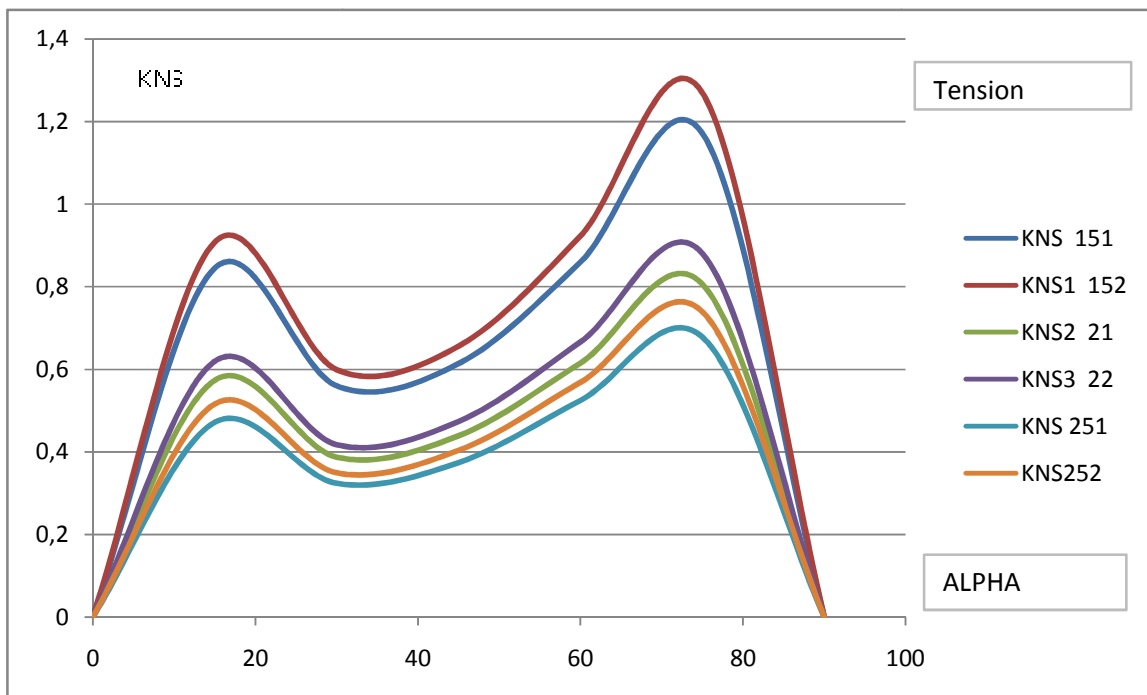


Figure III. 12.a- Caractéristiques de la non sinusoidalité de la tension en fonction de α : $\alpha l = \alpha c$ et $k_2 = 0.2$

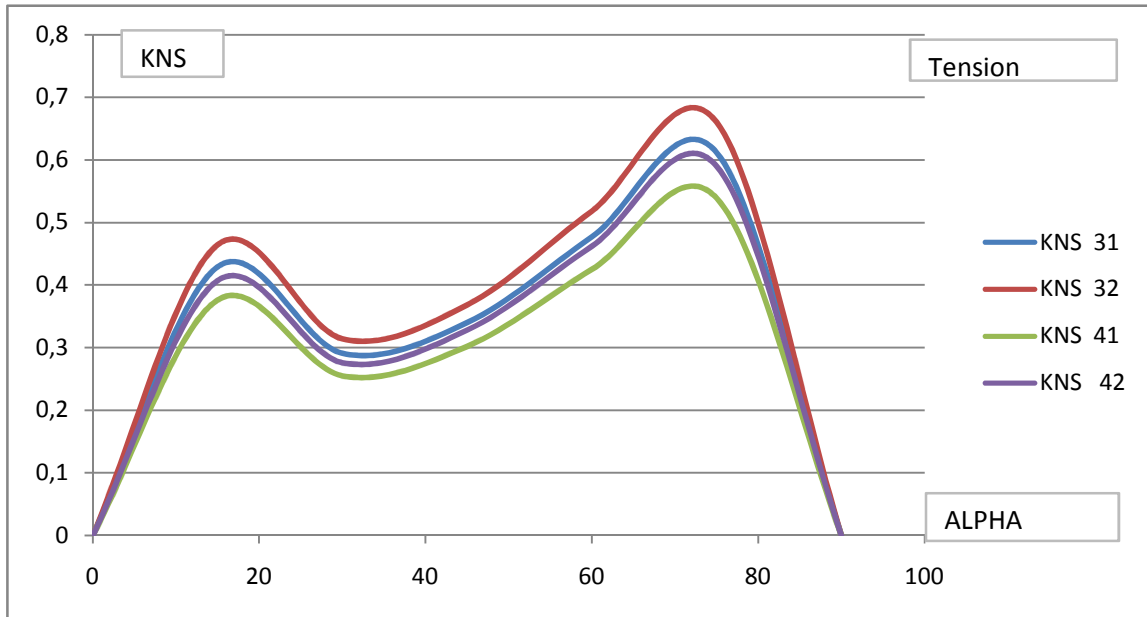


Figure III. 12.b- Caractéristiques de la non sinusoidalité
de la tension en fonction de α : $\alpha_1 = \alpha c$ et $k_2 = 0.2$

Conclusion

On peut donc déduire, si l'on prend en considération l'aspect très approximatif de $K_{NS}^{(U)}$, que 10 intervalle de réglage du compensateur est dans une première étape, limité par le contenu harmonique de la tension ; puisque pour le courant le réglage peut s'effectuer théoriquement sur tout l'intervalle $\alpha = 0 \div \pi/2$.

Chapitre IV

Détermination de la balance de la puissance réactive dans le nœud

Introduction

Dans les nœuds des réseaux électriques alimentant des consommateurs de grande puissance, on est souvent appelé à installer des sources de puissance réactive pour assurer un équilibre de cette dernière correspondant à une tension donnée ; on désigne ça par balance de la puissance réactive. Les éléments branchés peuvent être à caractère linéaire ou non linéaire ; et présentent des fois une non-sinusoïdalité inadmissible. Dans ce dernier cas, en règle générale, pendant les analyses des caractéristiques du nœud la tension de calcul est considérée par supposition sinusoïdale de valeur efficace égale à celle de la tension réelle non-sinusoïdale.

IV. 1 Caractéristiques nodales du modèle étudié.

Dans ce chapitre on s'intéresse au cas dans lequel on doit, au contraire, tenir compte du fait que la tension est non-sinusoïdale, et rechercher le rôle joué par les harmoniques supérieurs dans la balance de la puissance réactive. Pour ce faire, on a choisi le modèle d'un système, comportant une charge linéaire $Z_n = R + jX_H$; et une SPR (source de puissance réactive) statique à thyristors à réglage continu (figure.III.1). Les schémas équivalents de ce modèle et les régimes de réglage retenus pour l'analyse ont été choisis et exposés dans le chapitre précédent. La recherche est orientée particulièrement vers la détermination et l'analyse des caractéristiques de la balance de la puissance réactive, en présence des harmoniques, autrement dit en l'absence des filtres ; ceci pour faire apparaître au clair, l'apport des harmoniques supérieurs dans la balance.

IV - 2. Balance de la puissance réactive sur le fondamentale (sans harmoniques).

IV -2.1 Paramètres équivalents

En se référant au schéma du modèle et aux expressions obtenues dans le deuxième chapitre, on peut déterminer les paramètres du système et du régime considéré (Fig. III.2.a).

Ainsi l'impédance équivalente s'obtient comme suit :

$$\frac{1}{Z_{eq}} = \frac{1}{Z_S} + \frac{1}{Z_H} = \frac{1}{jX_S} + \frac{1}{r_H + jX_H}$$

Ou bien :

$$Z_{eq} = \frac{-X_S X_H + j r_H X_S}{r_H + j(X_H + X_S)}$$

$$= \frac{r_H X_S^2 + j[r_H^2 + X_H(X_H + X_S)]X_S}{r_H^2 + (X_H + X_S)^2} = r_{eq} + jX_{eq} \dots \dots \dots (IV. 1)$$

Où

$$r_{eq} = \frac{r_H X_S^2}{r_H^2 + (X_H + X_S)^2} \dots \dots \dots (IV. 2)$$

$$X_{eq} = \frac{r_H^2 + X_H(X_H + X_S)X_S}{r_H^2 + (X_H + X_S)^2} \dots \dots \dots (IV. 3)$$

L'impédance équivalente peut, être mise sous une autre forme ; en effet en multipliant et en divisant l'expression (IV. 1) par X_S^2 ; on obtient,

$$Z_{eq} = \frac{\frac{r_H}{X_S} + j \left[\frac{r_H^2}{X_S^2} + \frac{X_H}{X_S^2} (X_H + X_S) \right]}{\frac{r_H^2}{X_S^2} + \left(\frac{X_H + X_S}{X_S} \right)^2} X_S$$

$$= (K_1' + jK_1'') X_S \dots \dots \dots (IV. 4)$$

où , $K_1 = K_1' + jK_1''$ - coefficient sans dimension.

De ce fait, il vient que :

$$r_{eq} = K_1' X_S$$

$$X_{eq} = K_1'' X_S$$

Pour montrer les effets dus a la puissance réactive il est suffisant de considérer uniquement le processus d'échange ; c à d supposer que dans le nœud, il n'y a qu'un échange de l'énergie réactive uniquement. Cette état peut être obtenu si l'on supposé que la résistance de la charge est nulle, $r_H = 0$. Ceci permettra en plus de faciliter les calculs et de rendre plus apparents les effets de réglage. Dans ces conditions il vient que :

$$K_1 = K_1' + jK_1'' = j K_1 \text{ avec } K_1' = 0$$

D'où :

Les expressions précédentes obtenues permettent de définir les caractéristiques statiques du nœud considéré. Pour mieux faire apparaître l'effet introduit par les harmoniques supérieurs, et pour déterminer éventuellement les différentes limites de réglage, il est nécessaire de faire varier les rapports de puissance des éléments en interaction dans le nœud ; ainsi, le rapport de puissance entre le compensateur et le réseau est varié. Pour chaque rapport donné, la puissance de la charge varie de 1 à 0,5 c'est-à-dire $X_H^* = 1 \div 2$, Les régimes de réglage établis, ainsi que les caractéristiques correspondantes sont décrite par rapports au réglage initial pour le quel, quand $\alpha_c = \alpha_L = 0$, le rapport de puissance entre la charge et le compensateur serait tel que $X_p = X_H$ et la tension du nœud $U = U_1$. Si la puissance de la charge varie, celle du compensateur doit être, variée pour rechercher le nouvel état d'équilibre (Balance).

X_H^*	$Q_1^*(a)$	0	$\pi/12$	$\pi/6$	$\pi/4$	$\pi/3$	$5\pi/12$	$\pi/2$
	$U_1^*(a)$							
1	U_1	0,99958	1,01433	1,0228	1,021	1,0063	0,982	0,952
	Q_{1H}	0,04973	0,05114	0,051971	0,05181	0,05038	0,0480	0,0453
	Q_{1k}	0,04995	0,0755	0,0806	0,0652	0,03508	0,01022	0,0000
1,2	U_1	1,00840	1,02340	1,03212	1,03047	1,0153	0,9906	0,96
	Q_{1H}	0,04210	0,0433	0,04440	0,0438	0,0426	0,0407	0,0383
	Q_{1k}	0,05084	0,07684	0,08211	0,0663	0,0364	0,0104	0,0000
1,4	U_1	1,0144	0,02965	1,0384	1,0368	1,021	0,9965	0,9655
	Q_{1H}	0,03656	0,0376	0,0382	0,03812	0,03705	0,0353	0,0332
	Q_{1k}	0,0514	0,0777	0,0831	0,0671	0,0368	0,0105	0,0000
1,6	U_1	1,01833	1,0336	1,0425	1,0408	1,0253	1,0002	0,969
	Q_{1H}	0,03220	0,03313	0,0336	0,03357	0,03263	0,03112	0,0292
	Q_{1k}	0,0518	0,0783	0,0837	0,0677	0,0371	0,0106	0,0000
2	U_1	1,0256	1,04114	1,0501	1,0484	1,0327	1,0072	0,975
	Q_{1H}	0,0261	0,0269	0,02737	0,0272	0,0265	0,0252	0,0237
	Q_{1k}	0,0525	0,0794	0,0849	0,0686	0,0376	0,1076	0,0000

Tableau IV. 1 Caractéristiques statiques du nœud pour le fondamental, $k_2=0.05$ et $k_{2c}/k_{2l}=2$

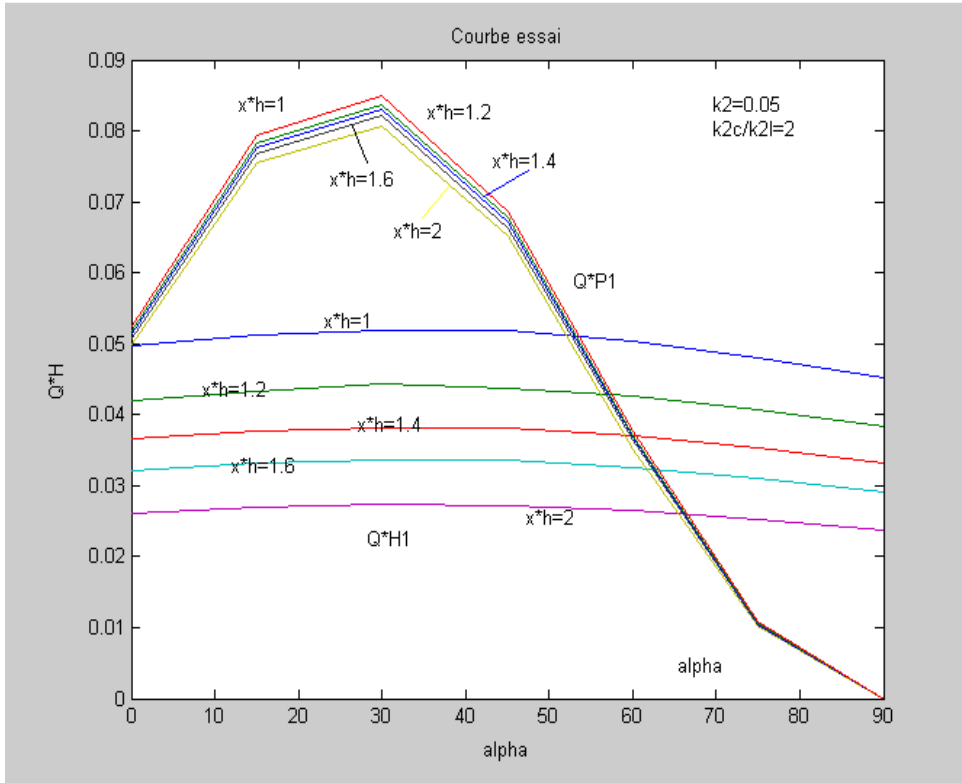


Figure IV. 1.a Caractéristiques des puissances statiques du nœud pour le fondamental, $k_2=0.05$ et $k_{2c}/k_{2l}=2$

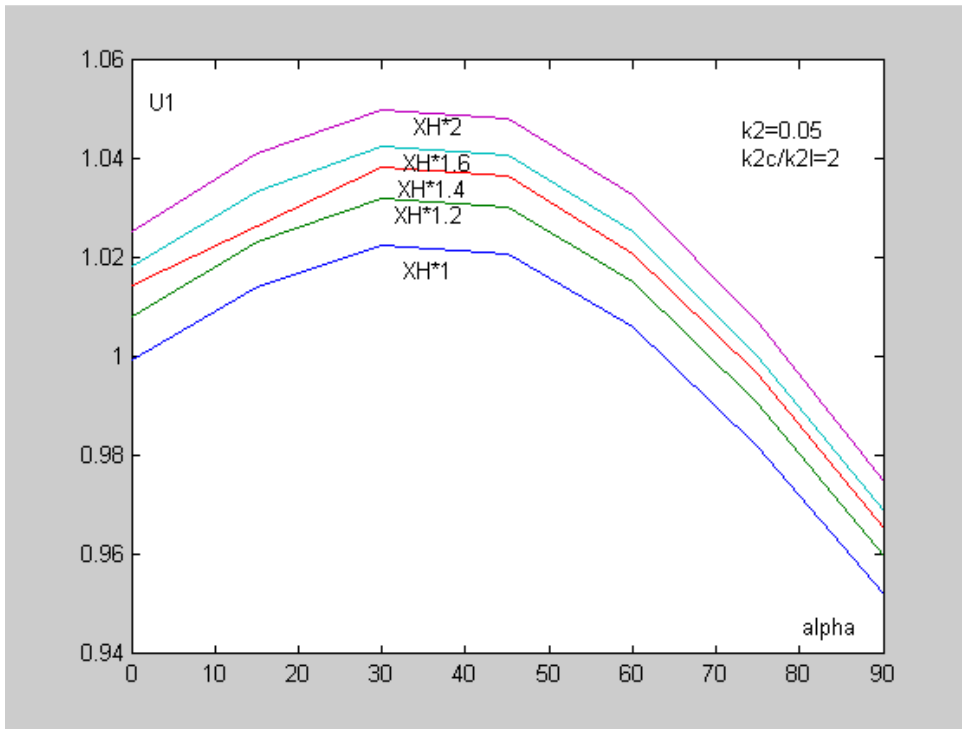


Figure IV. 1. b Caractéristiques des tensions statiques du nœud pour le fondamental, $k_2=0.05$ et $k_{2c}/k_{2l}=2$

X_H^*	$Q_1^*(a)$	0	$\pi/12$	$\pi/6$	$\pi/4$	$\pi/3$	$5\pi/12$	$\pi/2$
	$U_1^*(a)$							
1	U_1	0,9998	1,0095	1,0144	1,0114	0,9979	0,9772	0,952
	Q_{1H}	0,04973	0,05065	0,05112	0,05112	0,04955	0,0476	0,04531
	Q_{1k}	0,0995	0,0666	0,0684	0,0684	0,0298	0,0085	0,0000
1,4	U_1	1,0147	1,0247	1,0298	1,0266	1,0128	0,9915	0,9655
	Q_{1H}	0,03656	0,0372	0,0376	0,0373	0,03644	0,0499	0,0332
	Q_{1k}	0,0514	0,0686	0,07053	0,0562	0,03075	0,0087	0,0000
2	U_1	1,02588	1,0361	1,0412	1,03810	1,02395	1,0021	0,9756
	Q_{1H}	0,02617	0,02666	0,02692	0,02676	0,02607	0,02503	0,0237
	Q_{1k}	0,0525	0,0701	0,0720	0,0574	0,0314	0,00897	0,0000

Tableau IV. 2 Caractéristiques statiques du nœud pour le fondamental, $k_2=0.05$ et $k_{2c}/k_{2l}=2.5$

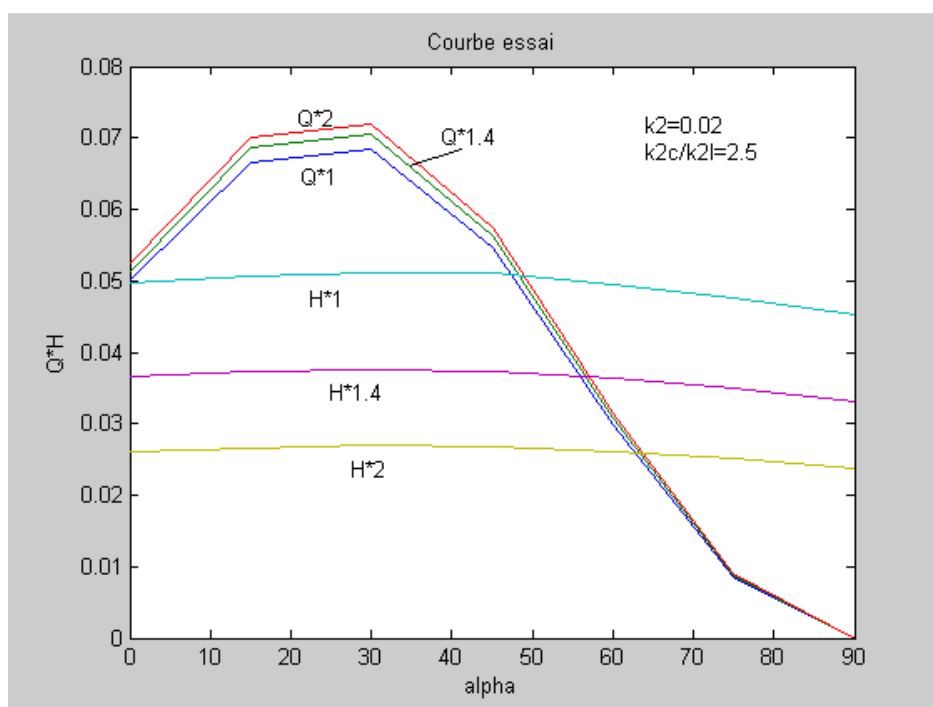


Figure IV.2.a Caractéristiques des puissances statiques du nœud pour le fondamental, $k_2=0.05$ et $k_{2c}/k_{2l}=2.5$

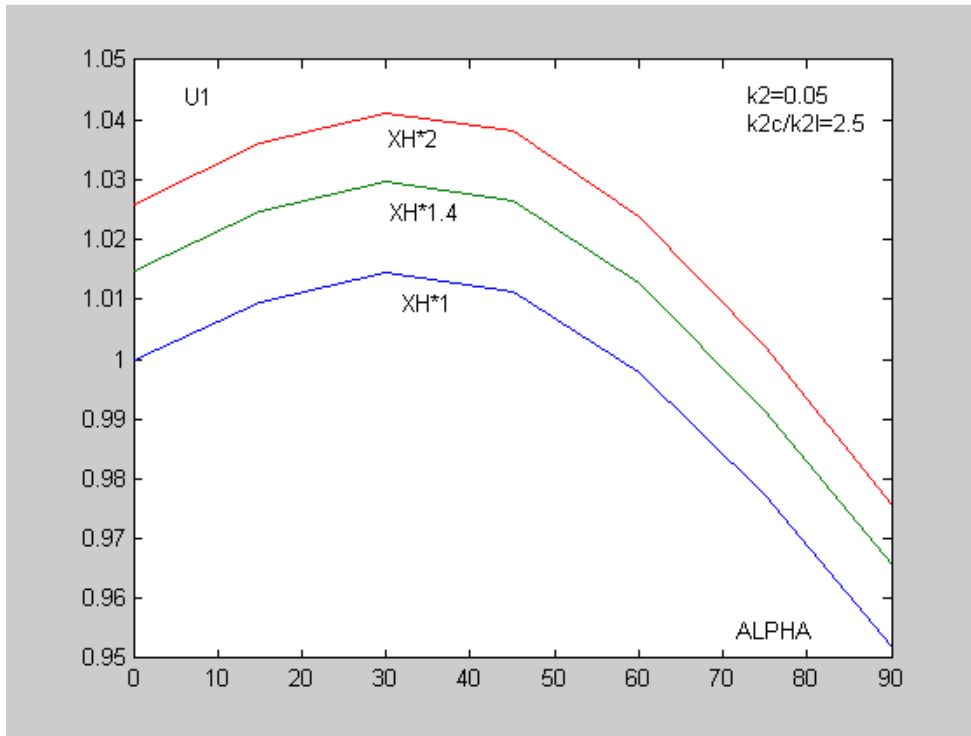


Figure IV. 2. b Caractéristiques des tensions statiques du nœud pour le fondamental, $k_2=0.05$ et $k_{2c}/k_{2l}=2.5$

X_H^*	$Q_1^*(a)$	0	$\pi/12$	$\pi/6$	$\pi/4$	$\pi/3$	$5\pi/12$	$\pi/2$
	$U_1^*(a)$							
1	U_1	0,9998	1,0280	1,0444	1,0413	1,0128	0,966	0,909
	Q_{1H}	0,0983	0,1034	0,1065	0,1059	0,10069	0,0924	0,0826
	Q_{1k}	0,0999	0,151	0,161	0,1305	0,0716	0,0204	0,0000
1,4	U_1	1,0290	1,0587	1,07605	1,0727	1,0427	0,993	0,933
	Q_{1H}	0,07387	0,0778	0,0801	0,0797	0,07568	0,0693	0,0618
	Q_{1k}	0,1058	0,16002	0,1710	0,1382	0,0758	0,02168	0,0000
2	U_1	1,0521	1,0832	1,1012	1,0978	1,06649	1,015	0,952
	Q_{1H}	0,0543	0,05732	0,05908	0,0587	0,0557	0,0509	0,0453
	Q_{1k}	0,1107	0,167	0,178	0,1445	0,0793	0,0226	0,0000

Tableau IV. 3 Caractéristiques statiques du nœud pour le fondamental, $k_2=0.1$ et $k_{2c}/k_{2l}=2$

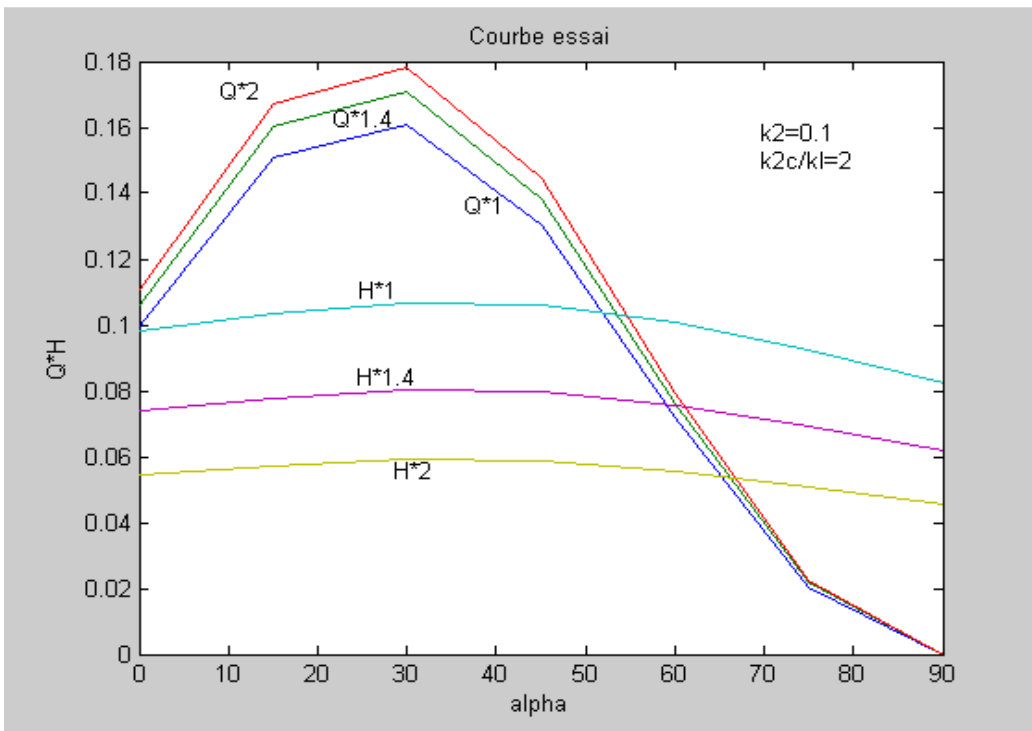


Figure IV.3.a Caractéristiques des puissances statiques du nœud pour le fondamental, $k_2=0.1$ et $k_{2c}/k_1=2$

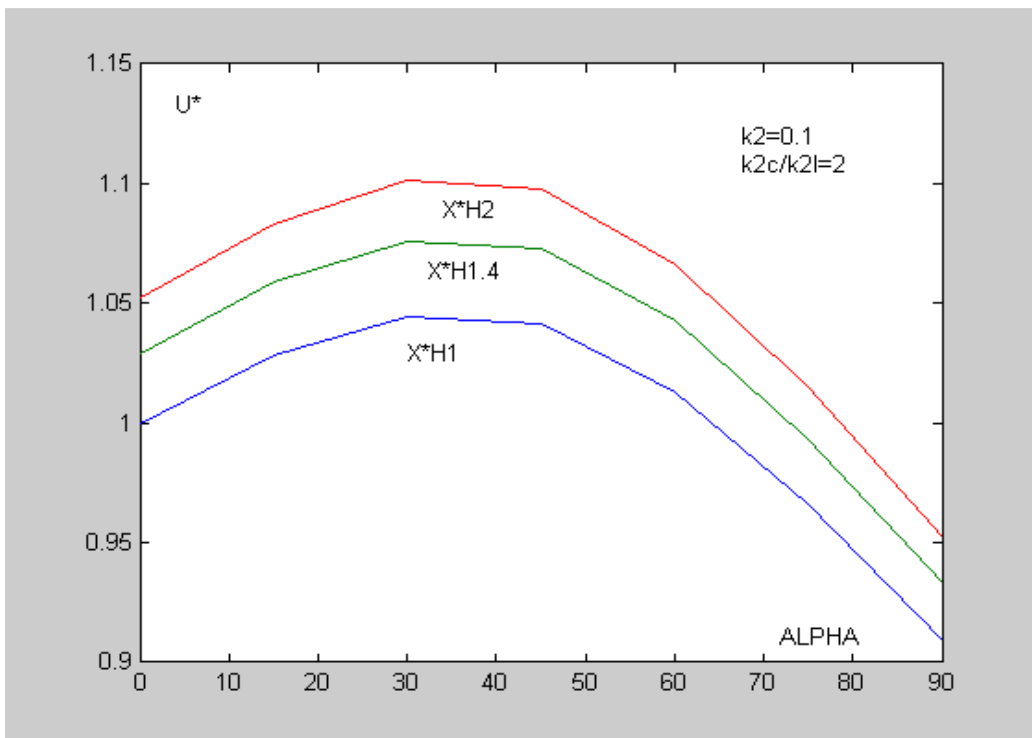


Figure IV. 3. b Caractéristiques des tensions statiques du nœud pour le fondamental, $k_2=0.1$ et $k_{2c}/k_1=2$

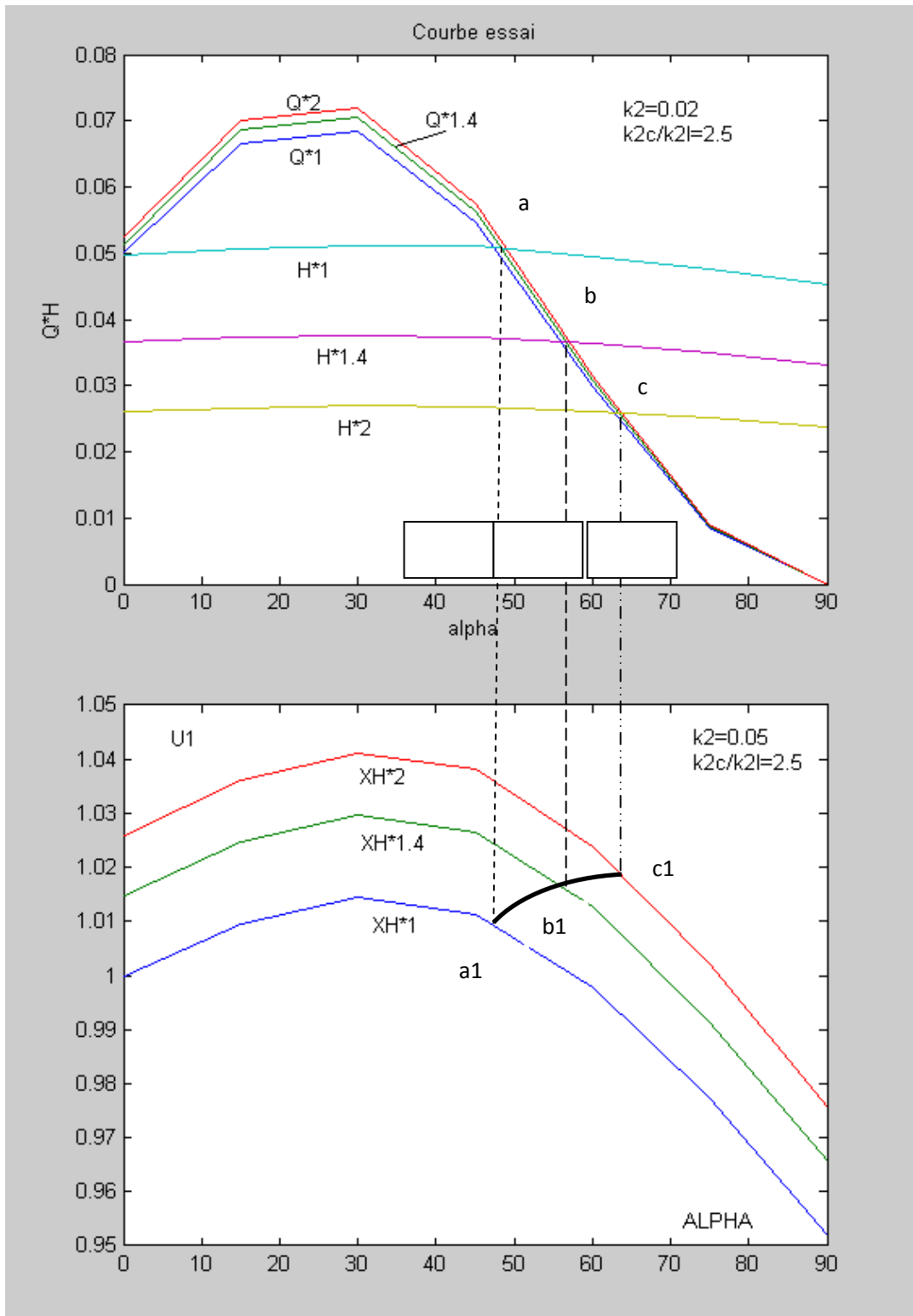


Figure IV. .4 Caractéristiques de réglage du nœud pour le fondamental, $k_2=0.05$ et $k_{2c}/k_{2l}=2.5$

Analyse des caractéristiques

Les tableaux IV.1 à 3, nous ont permis de tracer les caractéristiques pour les grandeurs fondamentales et pour les rapports de puissance donnés.

Nous constatons de ces résultats que les caractéristiques statiques des courbes du compensateur et de la charge correspondantes au régime initial c'est à dire quand $X_H^* = 1$, font intersection en deux points entre 0 et α_a , (figure IV.4.). Le point "0" correspond à l'état d'équilibre quand $\alpha_L = \alpha_c = \alpha_a = 0$ et $X_H^* = 1$; par contre le point "a" correspond à l'état $\alpha_L = \alpha_c = \alpha_a$ et $X_H^* = 1$. De ce fait quand la charge subit une variation par rapport au régime initial, en passant d'une caractéristique statique à une autre, le réglage de la puissance réactive qui doit suivre fera que la caractéristique de réglage évaluera suivant la courbe reliant les points a, b et c pour la puissance et les points α_1 , b_1 , et c_1 .

Sur le diapason $D_{\alpha_0} = 0 \div \alpha_a$, les caractéristiques statiques passent par un maximum et dans ce cas la puissance du condensateur augmente et atteint un maximum ensuite elle décroît et passe par le niveau initial (point "a"). Le passage par le maximum de la valeur de la puissance du compensateur s'explique par le fait que les vitesses de variation en fonction de α des puissances fondamentales dans les branches en interaction du compensateur sont différentes, pour toute la gamme de réglage des thyristors.

Une autre remarque la puissance fondamentale de la branche inductive $Q_L(\alpha)$ décroît avec une vitesse considérablement que celle de la puissance fondamentale de la branche capacitive dans la même zone. On peut déterminer sur le fondamental et dans tout l'intervalle maximal de la conductibilité, une zone d'influence capacitive et une zone d'influence inductive, qui dans une permutation déterminent celles correspondantes aux harmoniques supérieurs.

L'analyse faite pour les régimes fondamentaux uniquement en l'absence des harmoniques supérieurs ne peut donner des informations complètes sur l'état d'équilibre réel dans ce nœud considéré. Il est nécessaire de déterminer l'apport des harmoniques supérieurs dans cet état d'équilibre.

X_H^*	$Q_1^*(a)$	0	$\pi/12$	$\pi/6$	$\pi/4$	$\pi/3$	$5\pi/12$	$\pi/2$
	$U_1^*(a)$							
1	U_1	0,99958	1,01433	1,0228	1,021	1,0063	0,982	0,952
	Q_{1H}	0,04973	0,05114	0,051971	0,05181	0,05038	0,0480	0,0453
	Q_{1k}	0,04995	0,0755	0,0806	0,0652	0,03508	0,01022	0,0000
1,4	U_1	1,0144	0,02965	1,0384	1,0368	1,021	0,9965	0,9655
	Q_{1H}	0,03656	0,0376	0,0382	0,03812	0,03705	0,0353	0,0332
	Q_{1k}	0,0514	0,0777	0,0831	0,0671	0,0368	0,0105	0,0000
2	U_1	1,0256	1,04114	1,0501	1,0484	1,0327	1,0072	0,975
	Q_{1H}	0,0261	0,0269	0,02737	0,0272	0,0265	0,0252	0,0237
	Q_{1k}	0,0525	0,0794	0,0849	0,0686	0,0376	0,1076	0,0000

Tableau IV. 4. Caractéristiques statiques entières du nœud, $k_2=0.05$ et $k_{2c}/k_{2l}=2$

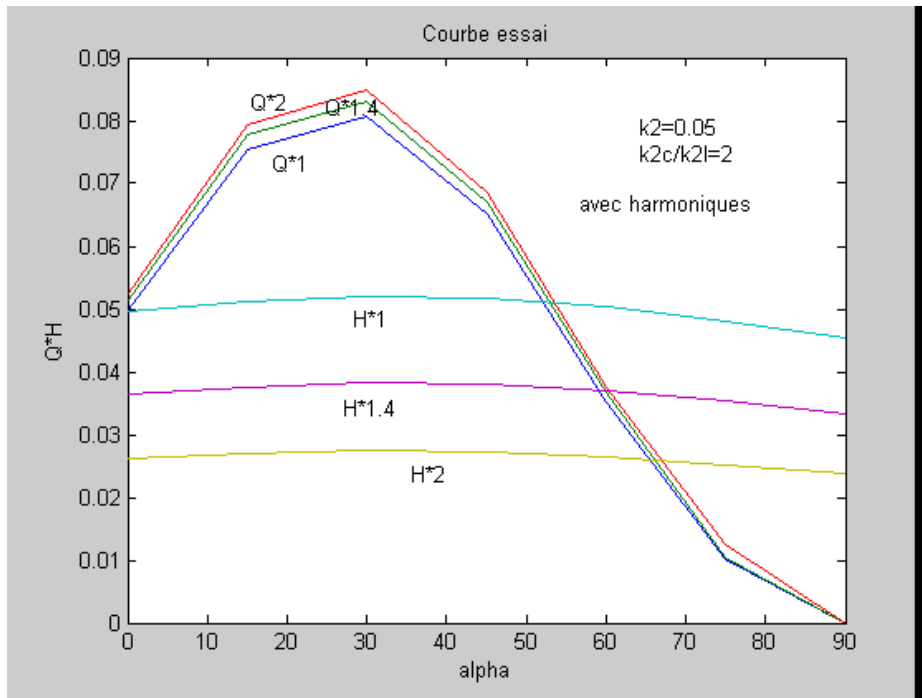


Figure IV 5. a Caractéristiques des puissances statiques entières du nœud, $k_2=0.05$ et $k_{2c}/k_{2l}=2$

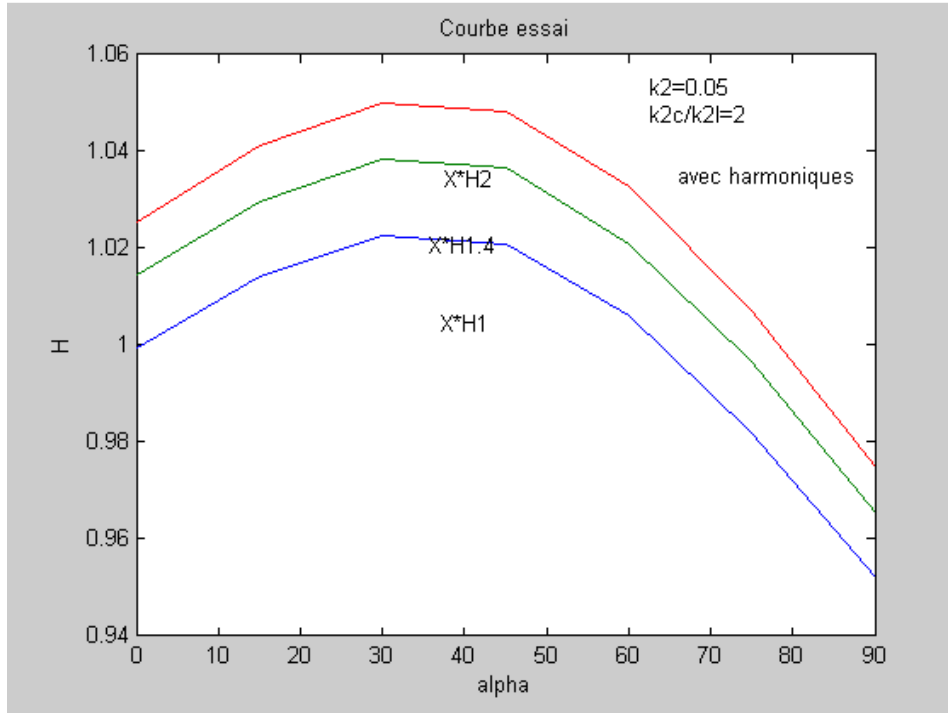


Figure IV 5. b Caractéristiques des tensions statiques entières du nœud, $k_2=0.05$ et $k_{2c}/k_{2l}=2$

X_H^*	$Q^*(a)$	0	$\pi/12$	$\pi/6$	$\pi/4$	$\pi/3$	$5\pi/12$	$\pi/2$
	$U^*(a)$							
1	U	0.9998	1.01094	1.01915	1.0175	1.0107	0.9935	0.952
	Q_H	0.04973	0.0507	0.051602	0.05145	0.0508	0.04922	0.0453
	Q_k	0.0499	0.0611	0.0652	0.0543	0.0460	0.0208	0.0000
1,4	U	1.01472	1.0262	1.03473	1.03314	1.0263	1.0086	0.9655
	Q_H	0.03656	0.0373	0.03796	0.03786	0.03741	0.03621	0.03327
	Q_k	0.0514	0.0629	0.0671	0.0559	0.0474	0.0214	0.0000
2	U	1.02588	1.03748	1.0458	1.0441	1.03650	1.0181	0.975
	Q_H	0.02617	0.02674	0.02671	0.02711	0.0267	0.0255	0.0237
	Q_k	0.0525	0.0643	0.0686	0.0572	0.0485	0.0219	0.0000

Tableau IV. 5. Caractéristiques statiques entières du nœud, $k_2=0.05$ et $k_{2c}/k_{2l}=2.5$

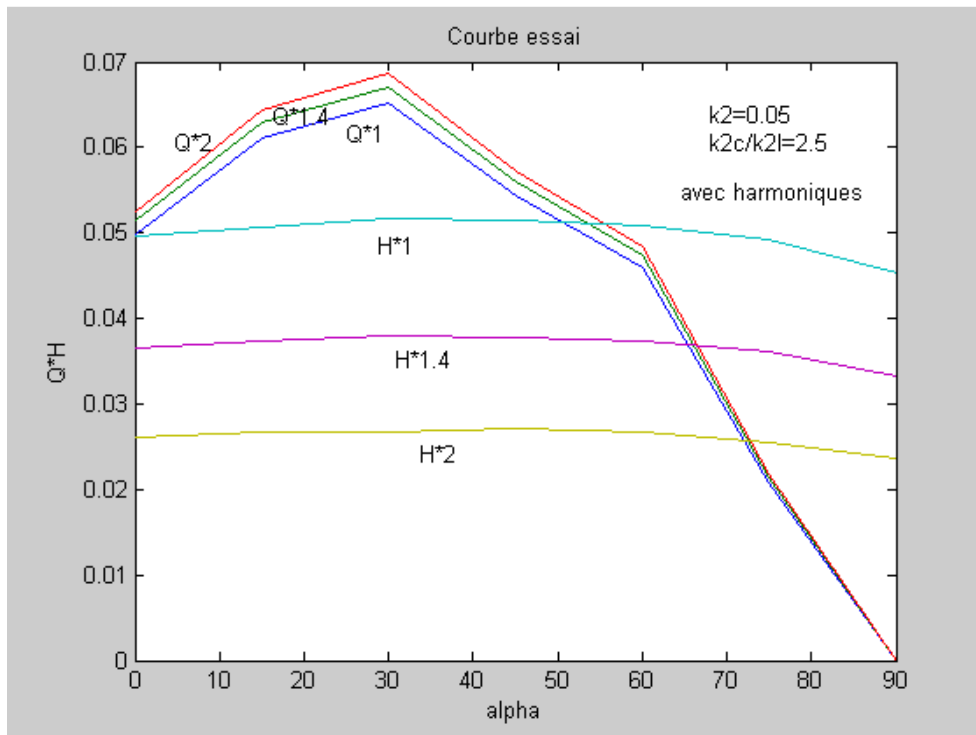


Figure IV. 6. a Caractéristiques des puissances statiques entières du nœud, $k2=0.05$ et $k2c/k2l=2.5$

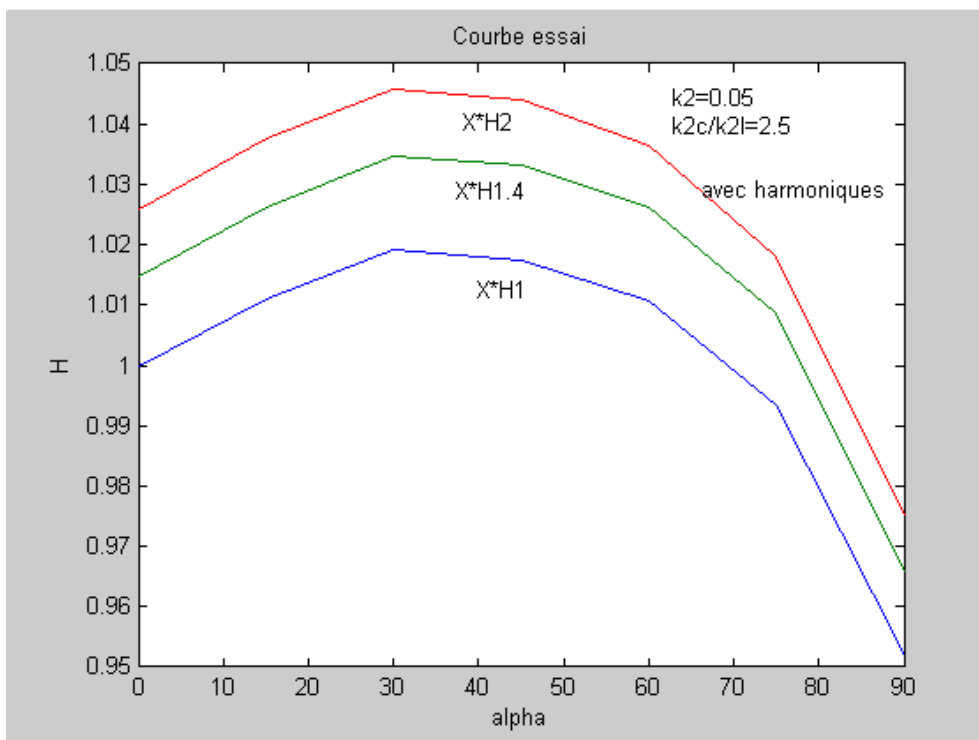


Figure IV. 6.b. Caractéristiques des tensions statiques entières du nœud, $k2=0.05$ et $k2c/k2l=2.5$

X_H^*	$Q^*(a)$	0	$\pi/12$	$\pi/6$	$\pi/4$	$\pi/3$	$5\pi/12$	$\pi/2$
	$U^*(a)$							
1	U	0.9998	1.0359	1.0693	1.0729	1.078	1.0518	0.909
	Q_H	0.0983	0.1051	0.1117	0.1126	0.1144	0.1096	0.0826
	Q_k	0.09997	0.134	0.149	0.127	0.109	0.0408	0.0000
1,4	U	1.0290	1.06730	1.1029	1.01070	1.1137	1.0861	0.933
	Q_H	0.0738	0.0791	0.0843	0.08503	0.08655	0.0829	0.0618
	Q_k	0.1058	0.1422	0.158	0.134	0.116	0.0508	0.0000
2	U	1.0521	1.0908	1.1253	1.128	1.129	1.0973	0.952
	Q_H	0.05435	0.0583	0.0622	0.0628	0.0640	0.0139	0.0453
	Q_k	0.1107	0.148	0.165	0.140	0.121	0.0531	0.0000

Tableau IV. 6. Caractéristiques statiques entières du nœud, $k_2=0.1$ et $k_2c/k_2l=2$

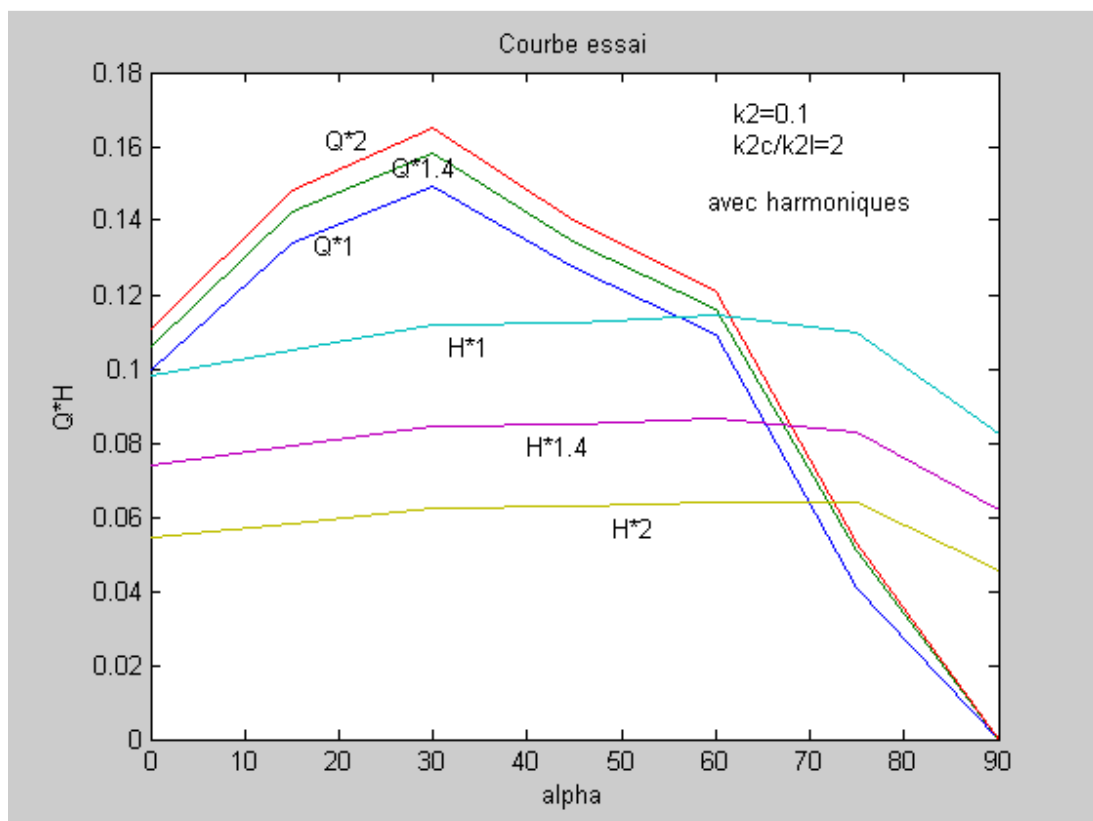


Figure IV. 7 a Caractéristiques des puissances statiques entières du nœud, $k_2=0.1$ et $k_2c/k_2l=2$

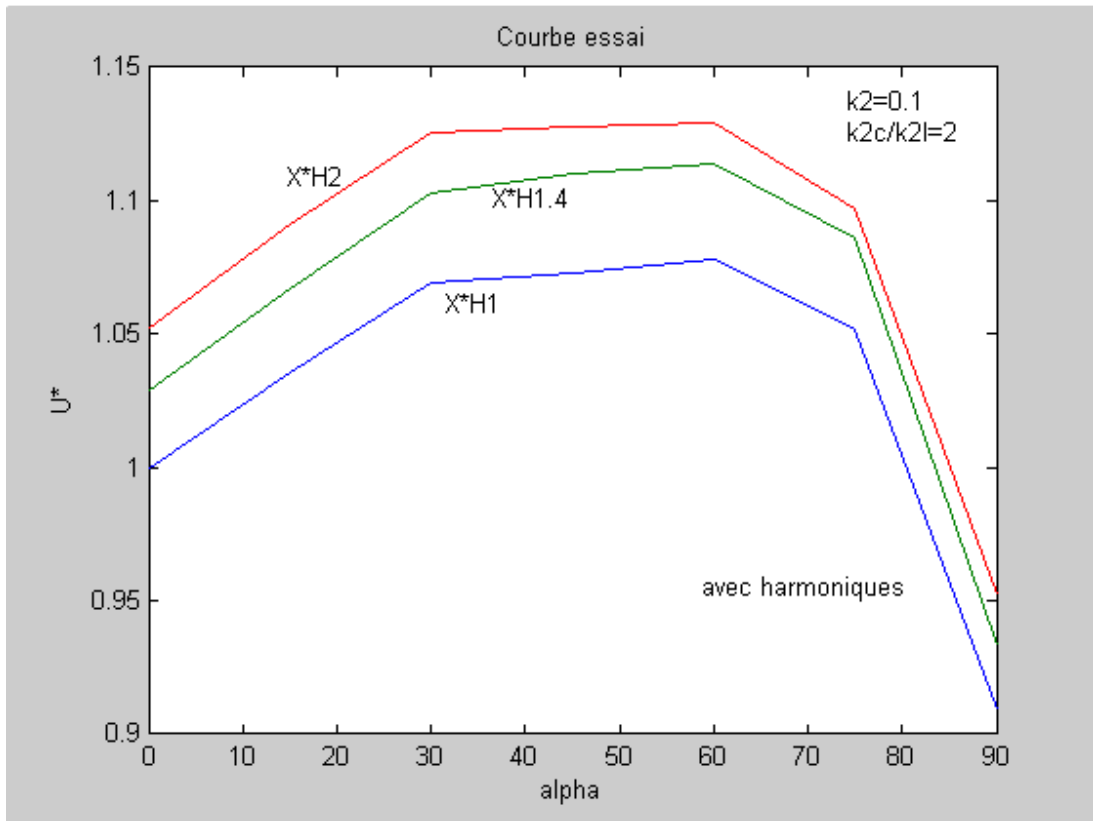


Figure IV. 7 b Caractéristiques des tensions statiques entières du nœud, $k2=0.1$ et $k2c/k2l=2$

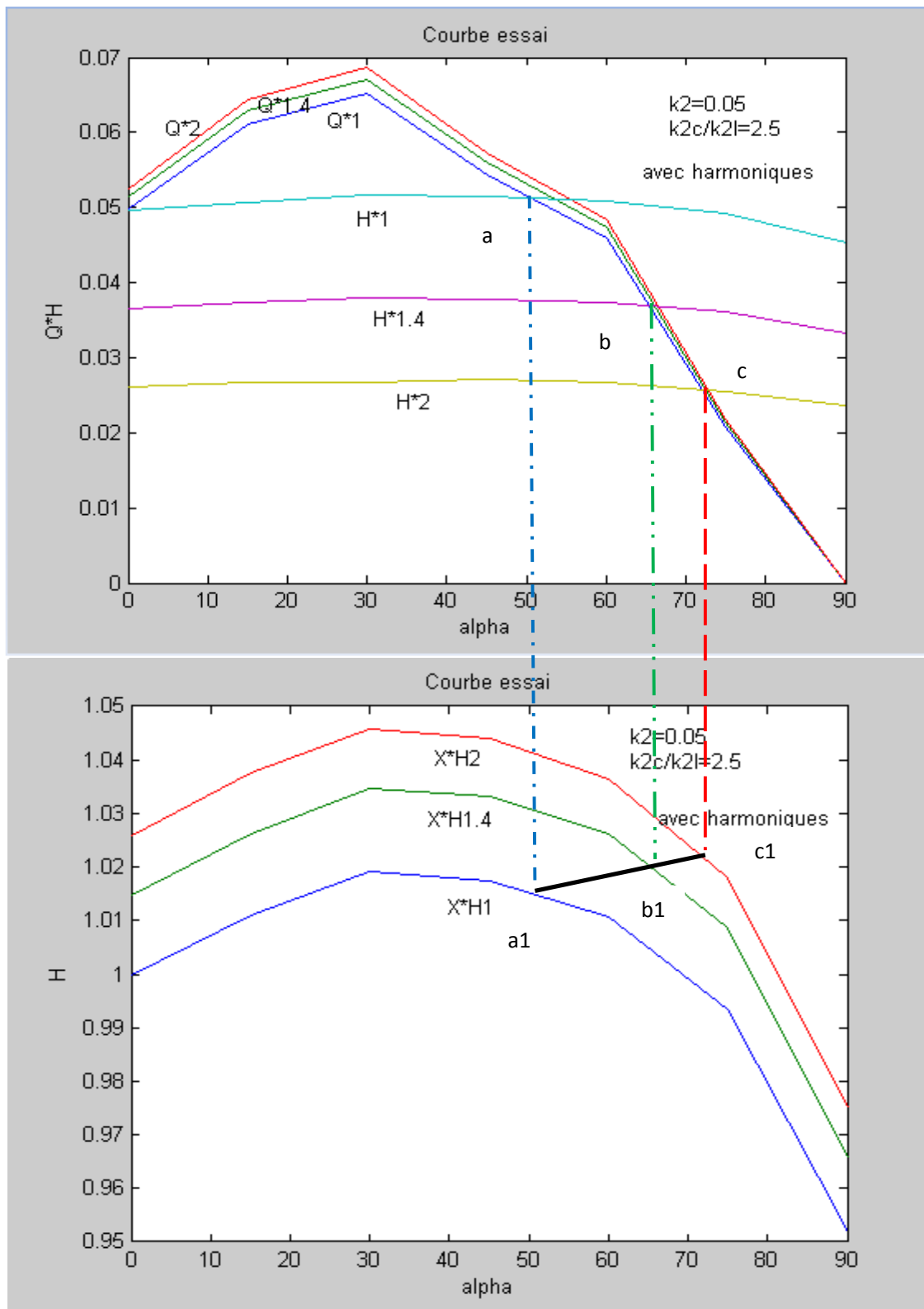


Figure IV. .8 Caractéristiques de réglage du nœud entières, $k_2=0.05$ et $k_{2c}/k_{2l}=2.5$

IV. 6. Analyse des caractéristiques

Dans l'objectif de voir l'influence des harmoniques supérieurs sur les caractéristiques du nœud, nous avons comparé les courbes IV.4 et IV.8 des grandeurs fondamentales obtenues à ceux des grandeurs avec les harmoniques supérieurs.

La comparaison montre les rapports d'influence entre les branches du compensateur, cette comparaison se manifeste par une zone à influence inductive pour les harmoniques supérieurs et une zone capacitive pour les grandeurs fondamentales.

Les courbes obtenues en tenant compte des harmoniques supérieurs sont plus basses et passent en dessous des courbes pour les grandeurs fondamentales.

Dans l'intervalle $\pi/4$ et $\pi/2$ les courbes des caractéristiques fondamentales passent au contraire en dessus, des courbes renfermant les grandeurs contenant les harmoniques supérieurs, de cela nous déduisons que cet intervalle est celui de l'influence capacitive pour les grandeurs avec les harmoniques supérieurs et inductive pour les grandeurs fondamentales.

Nous remarquons aussi que sur l'intervalle 0 à $\pi/4$ les harmoniques supérieurs ont un effet compensatoire, puisqu'ils diminuent la puissance du compensateur, ainsi que la tension, tandis que dans l'intervalle $\pi/4$ et $\pi/2$, ils ont un effet inverse.

Ces interprétations nous permettent de dire que les points pour lesquels s'établit la balance pour différents régimes, se déplacent effectivement si nous négligeons l'effet des harmoniques supérieurs, la balance de la puissance réactive du nœud pendant le processus de réglage qui est censé s'établir dans la zone des points a, b et c, lorsque la charge aura respectivement les valeurs $X^*H=1, 1.4$ et 2 .

La tension du nœud évaluera suivant les projections des points **a**, **b** et **c**, sur les courbes de tensions figure IV. 8 et nous constatons sur la même figure que l'écart de la tension atteint au point **c'** approximativement 7 à 10%. Hors dans ces mêmes, c'est à dire ceux correspondants aux points **a**, **b** et **c** la tension est tout à fait autre et elle est déterminée en réalité par la courbe passant par les points **a'**, **b'** et **c'**

Conclusion

De l'analyse des courbes obtenues on peut déduire un résultat également très important. On peut constater, en effet, que l'écart de variation de la tension, dépend du rapport entre les puissances installées des branches du compensateur. Cette écart indépendamment du fait tient-on compte des harmoniques où pas, est d'autant plus réduit que le rapport $\frac{K_{2c}}{K_{2L}} = 2$ à la valeur $\frac{K_{2c}}{K_{2L}} = 2,5$; l'écart sera réduit et par conséquent l'on peut s'attendre à ce que si $\frac{K_{2c}}{K_{2L}}$ augmente encore l'écart de tension ne sortira pas des limites admissibles; et ceci pendant tout le diapason de réglage.

Le choix judicieux du rapport de puissance installée des branches du compensateur pourrait permettre un réglage continu du compensateur dans un intervalle plus large, sans toute fois entamer la sortie des limites admissibles aussi du K_{ns} . En outre ce mode ce réduction du K_{ns} peut être présenté comme alternative aux méthodes basées sur l'installation des filtres et autres.

CONCLUSION GENERALE

Le but des travaux de ce mémoire a été d'étudier les possibilités de réglage des paramètres électroénergétique du nœud de charge en agissant sur le compensateur formé des branches inductive et capacitive

Sachant que dans les réseaux électriques il est intéressant d'avoir une balance des puissances optimale. Il a été fait une projection sur des besoins attendus à la fois sur la gestion des puissances du compensateur et de la charge et sur les plans de connaître l'évolution de tension dans le nœud.

L'intérêt s'est rapidement focalisé sur les systèmes complexes, non sinusoïdaux et non linéaires, l'interprétation physique de certaines caractéristiques des processus électroénergétiques, comme, par exemple les puissances réactives; ainsi que leurs définitions mathématiques restent, malgré quelques résolutions, un problème posé. Cependant dans certains cas particuliers ; pour cerner un aspect du processus, on peu utiliser certaines définitions déjà préétablies.

Il est avantageux d'utiliser un compensateur statique à thyristors, composé de deux branches parallèles capacitive et inductive, toutes les deux réglées de manière synchronisée. Pour réaliser une compensation statique de la puissance réactive, afin de réglage de la tension, dans un nœud de charge a régime non sinusoïdale, Ce dernier mode de réglage permet de réduire le coefficient de non sinusoïdalité du courant de charge, sans avoir recours à l'installation des filtres.

Dans ce travail nous avons remarqué que la réduction du coefficient de non sinusoïdalité est d' autant plus grande, que le rapport entre les puissances capacitive et inductive dans les branches du compensateur est plus grand. Cependant doit y avoir un rapport limite optimal, du coefficient de non sinusoïdalité admissible, pour lequel les pertes de puissance active dans le compensateur sont minimales.

Le travail, réaliser a permet de cerner de manière pertinente la problématique posé et offre une opportunité et des perspectives de développer aux mieux les modèles de réglage des puissances dans des nœuds à charge non linéaire dans l'avenir

Références Bibliographies

- [1] Jean Paul Barret, "Nécessité du maintien de la tension et de fréquence", RGE, n° 12, 1985
- [2] Jean Paul Barret, "le réglage de la tension- aspects généraux", RGE, n° 12, 1985.
- [3] Ian Welch, "interogation of the HVDC LINK into the british 400kv AC, traux mission systeme, central electricity generating", RGE, n° 2, 1984.
- [4] J. le Jmtel, "caractéristique d'un reseau industriel comportant de nombreuse sources d'harmoniques", RGE, n° 12, 1984.
- [5] Rabah Diabi, "détermination des caractéristiques de réglage d'un compensateur statique à thyristor dans un nœud de charge quelconque", Thèse de magister, université de Annaba 1988
- [6] Jean Paul Barret, "Nécessité du maintien de la tension et de fréquence", RGE, n° 12, 1985
- [7] Boudjella Houari, "Contrôle des puissance et des tensions dans réseau de transport au moyen des dispositifs FACTS", thèse de magister janvier 2008 Sidi Bel Abbes.
- [8] LIPSKIJ A. M, " Relations entre les indices de qualité de l'énergie électrique dans les réseaux avec charges à variation brutale", Journal Èlektričestvo ISSN 0013-5380,1983, n°8, pp. 50-52
- [9] Bouharkat. M, " détermination des caractéristiques de compensation de l'énergie électrique dans un nœud de charge non linéaire", thèse de Magister, dec/ 1991 université de Annaba.
- [10]Kamel Bounaya " Compensation de l'énergie réactive dans un nœud ", P.hd Moscou 1984.
- [10]Emile Pillet " sur la génération de la notion de la puissance réactive ", RGE, n° 5, 1982.
- [12] Dugan R.C., McGranaghan M.F., Santoso S., Beaty H. W., 'Electrical Power Systems Quality', McGraw-Hill Companies, Inc., New York 2003M.

- [13] Mansoor A., Collin E. R., Morgan R. L., *“Effect of Unsymmetrical Voltage Sags on Adjustable Speed Drive,”* Textile, Fiber, and Film Industry Technical Conference, 1997, IEEE 1997 Annual, 1997
- [14] R. Fournié, J. Capelle, “Condensateurs de puissance” Techniques de l’ingénieur D4 II.D644
- [15] C. Joubert, “Etude des phénomènes électromagnétiques dans les condensateurs à films métallisés -Nouvelle génération de condensateurs-”, Thèse de Doctorat, Lyon 1996.
- [16] J. Wu, T. Saha, “Simulation of Power Quality Problems on a University Distribution system”, Power Engineering Society Summer Meeting, 2000. IEEE, Volume: 4, 2000, Pages: 2326-2331 vol. 4
- [17] IEEE Standards Board, “IEEE std 1159-1995, IEEE Recommended Practice for Monitoring Electric Power Quality”, IEEE, Inc., New York June 1995
- [18] H. J. Bollen, P. Wang, N. Jenkins, "Analysis and Consequences of the phase jump Associated With A Voltage Sag ", Power System Computation Conference, Dresden, Germany, August 1996
- [19] Samet Biricik, “A Research and Solution Proposal for Reactive Power Problems in North Cyprus Industries”, Master thesis, Near East Univ., Nicosia, Turkish republic of Northern Cyprus, 2009.
- [20] Ö. C. Özerdem, S. Biricik, “Development of a Solution for Reactive Power Problems in North Cyprus Industries,” EMO Bilim Journal of the Chamber of Electrical Engineers, vol.2, Pages: 48-50, Turkish Republic of Northern Cyprus, August 2009
- [21]. M.A. El-Sharkawi, M. Dong, T. Huang et A. Szofran. « Development and Field Testing of a 15kV Class Adaptive VAR Compensator », Travaux de l'IEEE sur la distribution d'énergie, vol. 10 no. 4, octobre 1995.
- [22]. E. Wilson, A. Jefferson. « Power Factor Correction using the Adaptive VAR Compensator », Actes de la conférence sur la qualité de l'onde et le coût de l'énergie - conférence PQA, septembre 1997.
- [23]. L. Conrad, J. Jatskevich, O. Wasynczu. « A Method for Evaluating Flicker- Reduction Strategies in Power Systems », travaux de l'IEEE sur la distribution d'énergie, publication PE-310-PWRD-0-1-1998, 16 janvier 1998.